

Probing EoR with SKA

Yi Mao (茅奕)
Tsinghua University

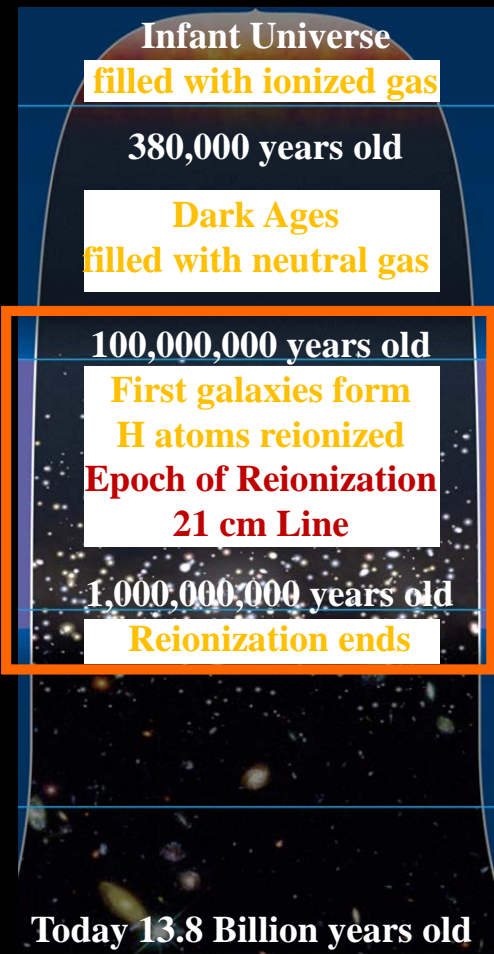
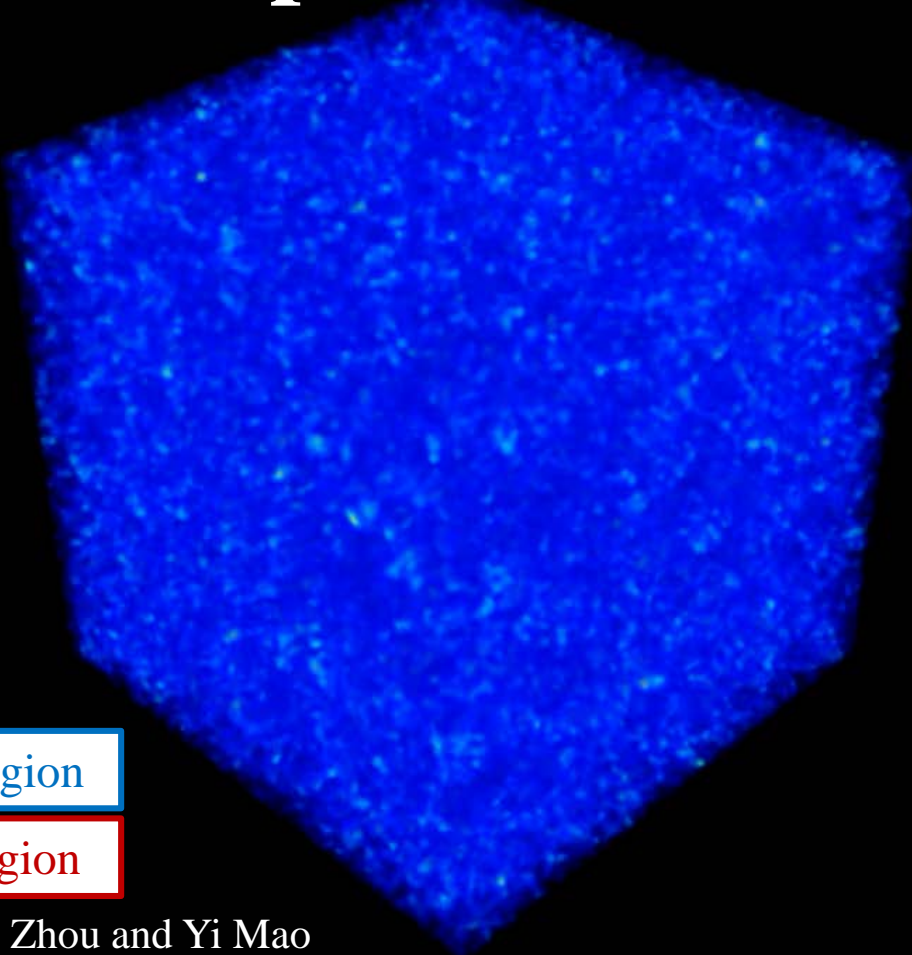
21 cm Cosmology Workshop 2023
Northeastern University & NAOC
July 17, 2023. Shenyang



艺术品名: Reionization
艺术家: 未知 (清华大学美术学院)
Art Name: Reionization
Artist: Unknown
(Academy of Arts and Design, Tsinghua University)

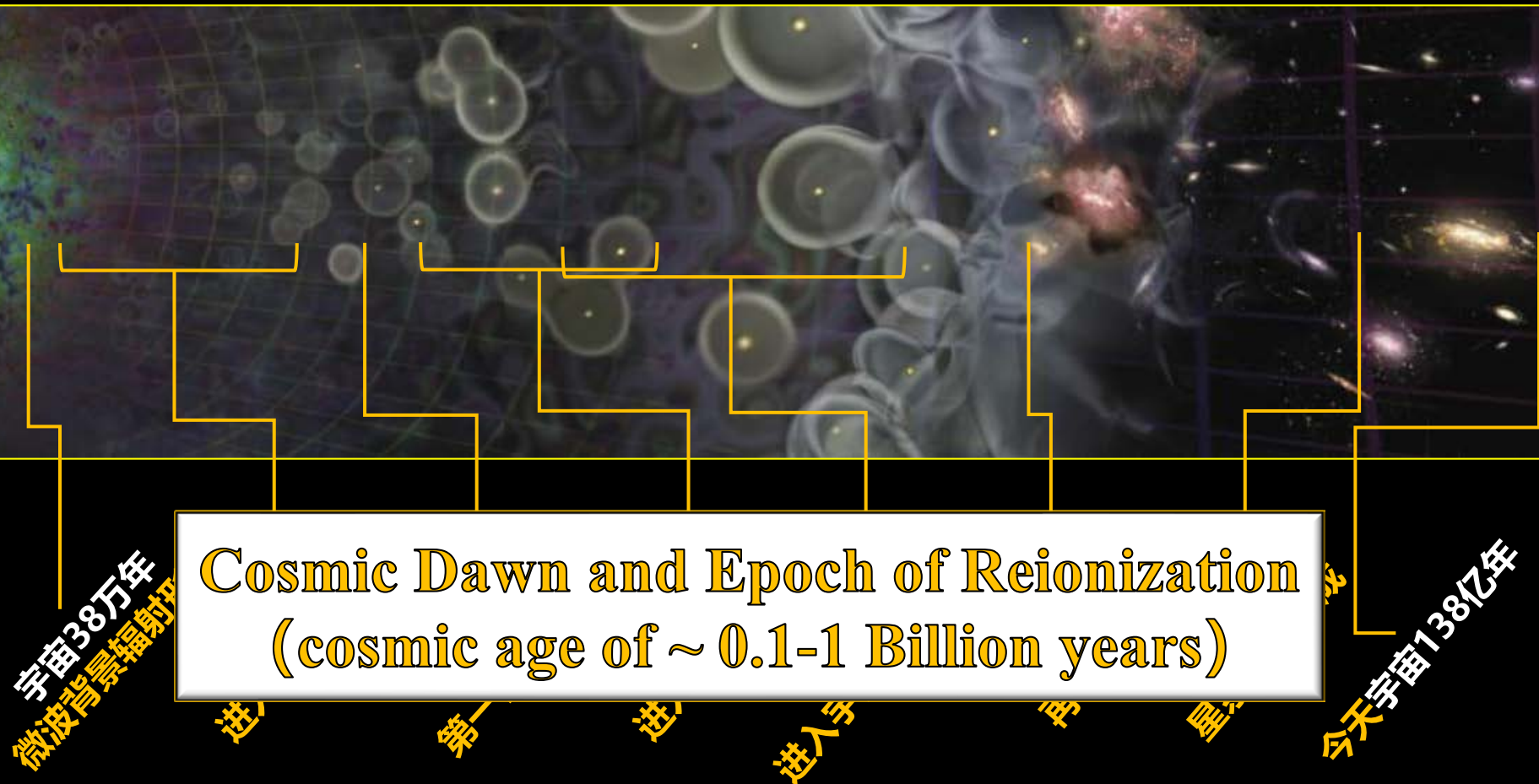
$z=15.062$

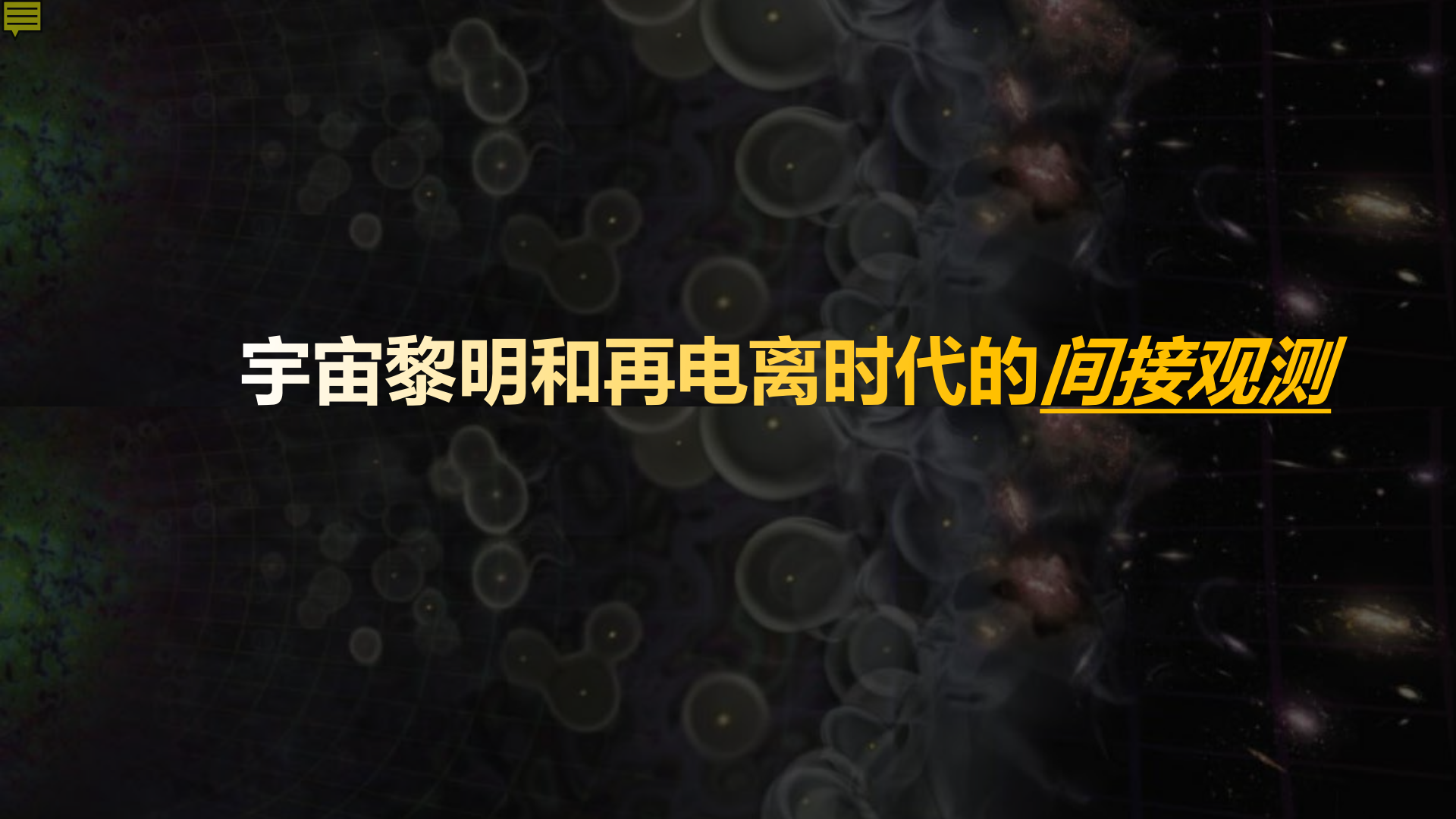
Epoch of Reionization



Movie: Meng Zhou and Yi Mao

Epoch of Reionization

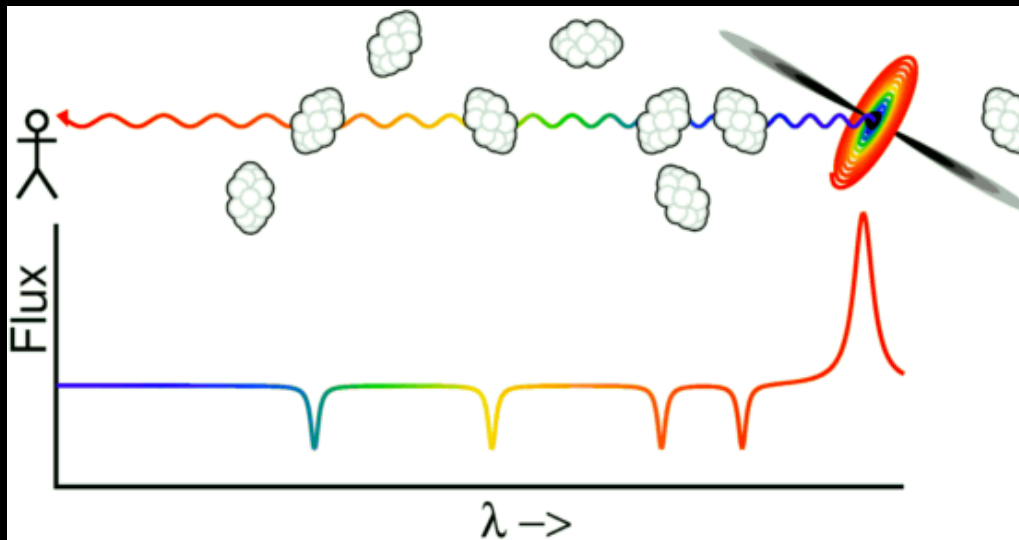




宇宙黎明和再电离时代的间接观测

宇宙再电离时代的探针-1：Ly α 森林

来自遥远类星体的光谱在Ly α 波长的吸收线强度反映了吸收体的中性氢密度。

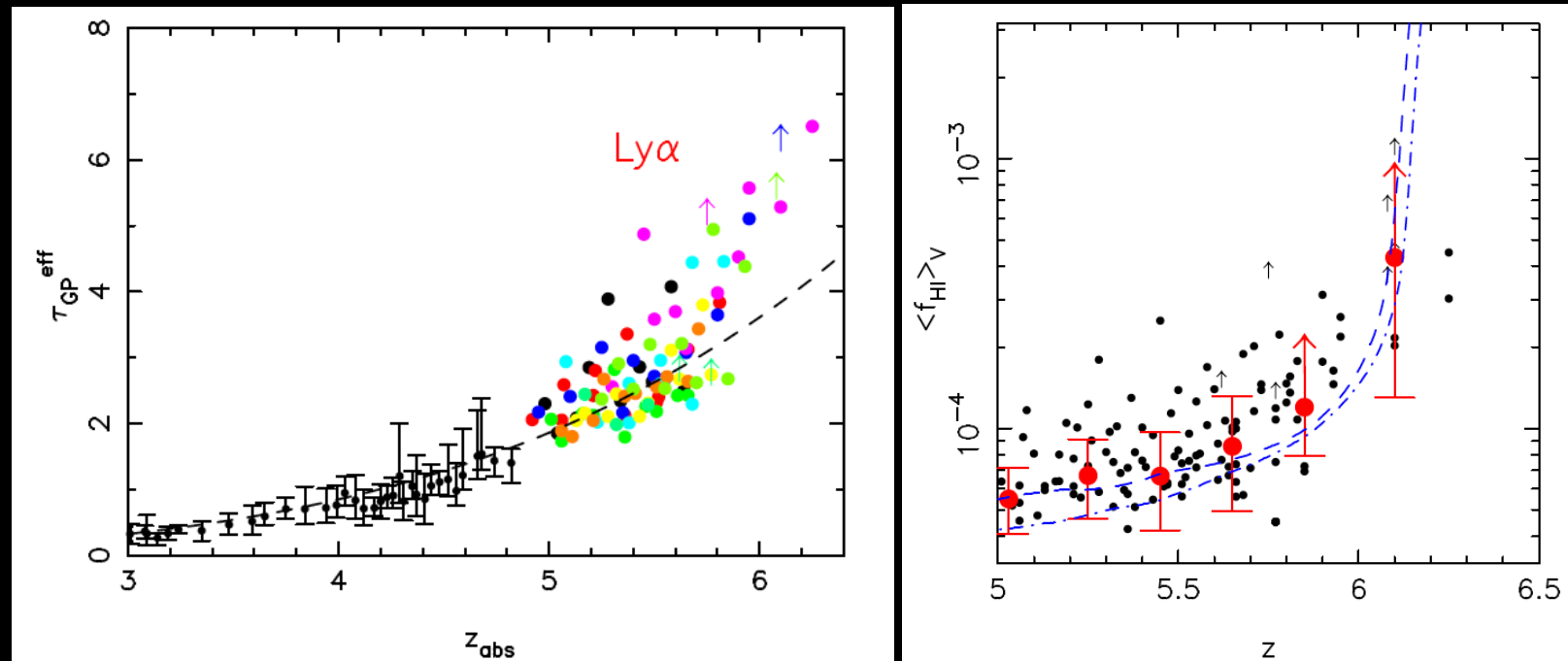


$$\lambda_{\text{obs}} = \lambda_0(1 + z)$$

$$\tau_{\text{GP}}(z) = 1.8 \times 10^5 h^{-1} \Omega_m^{-1/2} \left(\frac{\Omega_b h^2}{0.02} \right) \left(\frac{1+z}{7} \right)^{3/2} \left(\frac{n_{\text{HI}}}{\langle n_{\text{H}} \rangle} \right)$$

宇宙再电离时代的探针-1：Ly α 森林

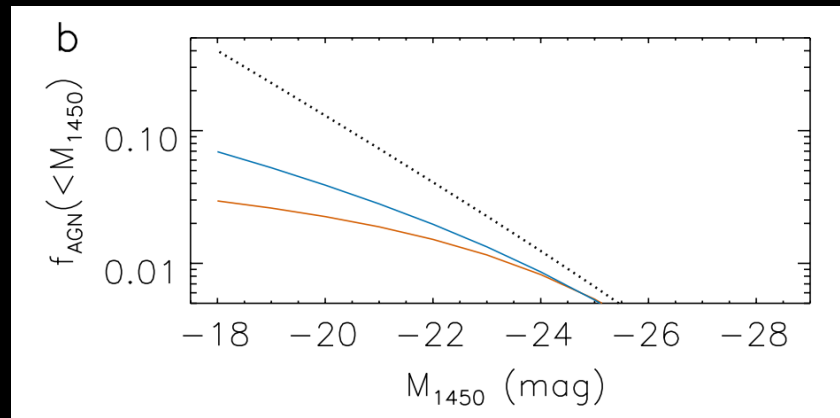
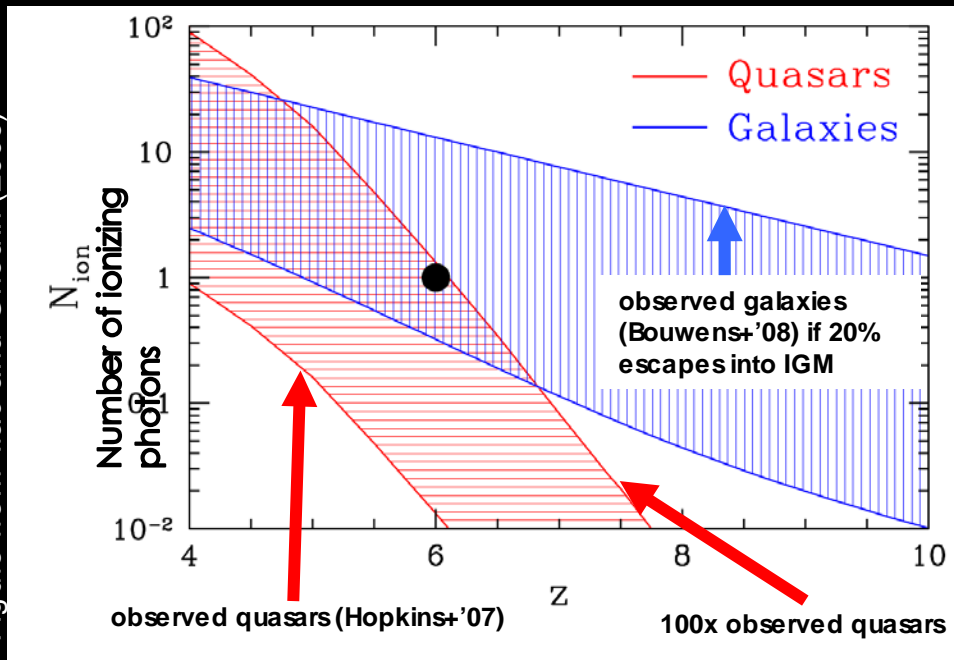
斯隆巡天测量类星体的Ly α 吸收线通过星系际介质的光学深度，发现其在红移6附近迅速提高。这对应了中性氢在星系际介质中的比率迅速提高。这表明宇宙再电离时代在红移6时结束。



宇宙再电离时代的探针-1：Ly α 森林

宇宙再电离时代在红移6时结束意味着完成再电离的主要电离光源不可能是类星体，而只能是星系。这一理论上的推论最近也被高红移类星体观测所证实 (Jiang et al. 2022)

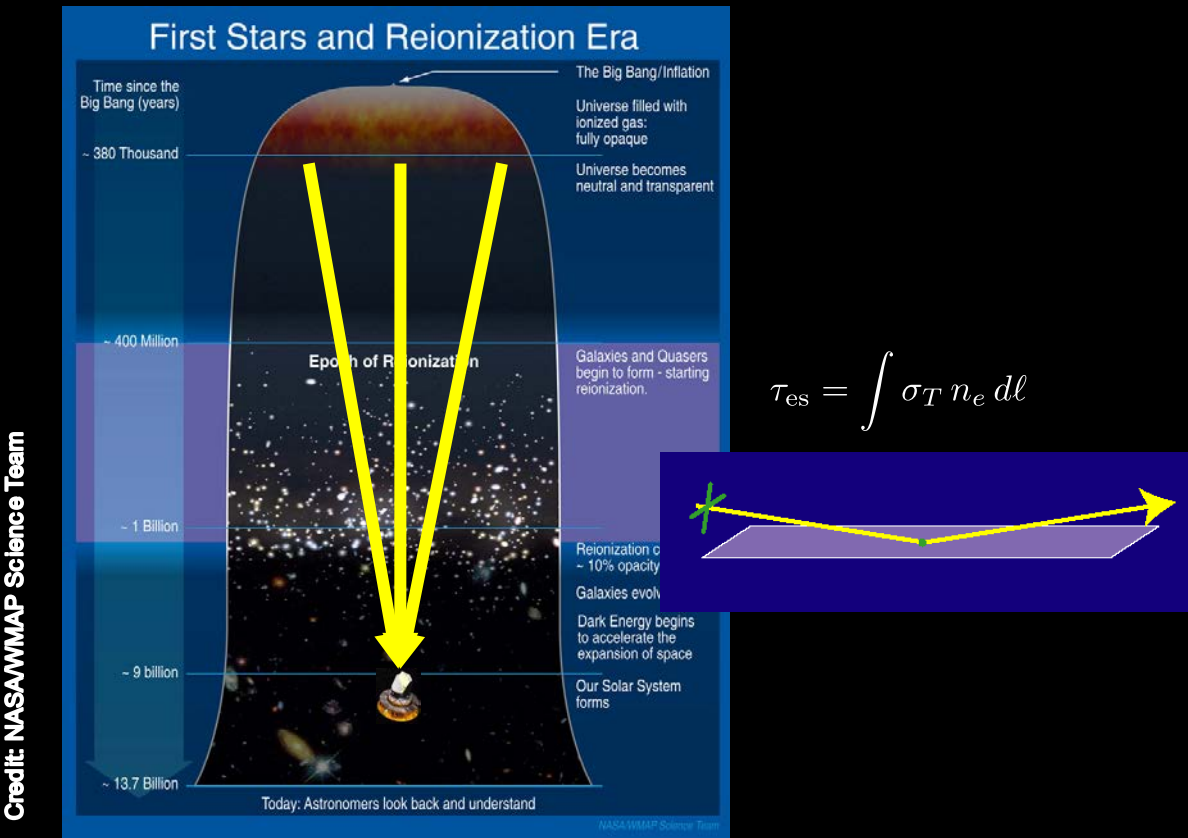
Figure from Trac and Gnedin (2009)



(b) **Quasar contribution to reionization.** The three curves represent the fractions (f_{AGN}) of the cumulative quasar emissivity to the total photon emissivity required to ionize the universe. They indicate a negligible quasar contribution. Figure from Jiang et al. (2022)

宇宙再电离时代的探针-2：宇宙微波背景辐射

宇宙微波背景辐射光子被处于再电离时代及之后的自由光子所散射(汤普逊散射)

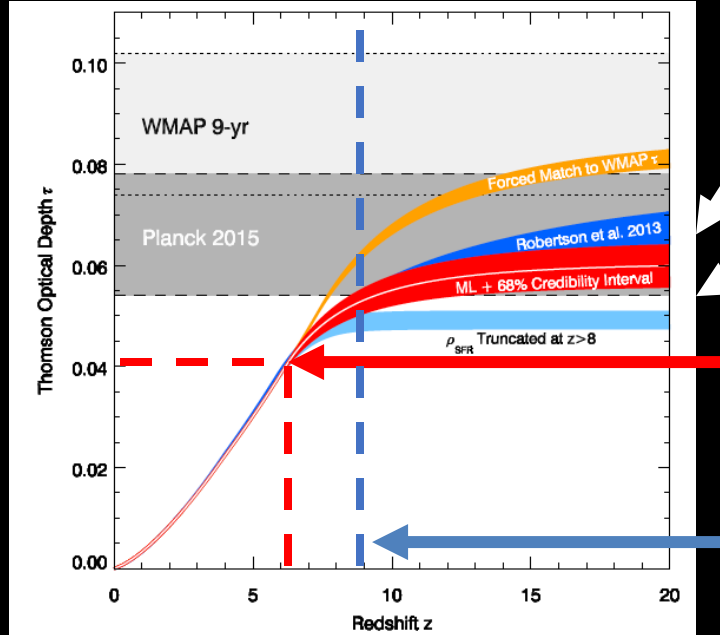




宇宙再电离时代的探针-2：宇宙微波背景辐射

大约6%的宇宙微波背景辐射光子会被自由光子所散射，表明宇宙再电离是一个渐变的过程

Robertson et al. (2015)



$$\tau = 0.066 \pm 0.013$$

Planck 2015 ($\Pi + \text{lowP/LFI} + \text{lensing} + \text{BAO}$)

$$\tau = 0.058 \pm 0.012$$

Planck 2016 ($\Pi + \text{lowP/HFI}$)

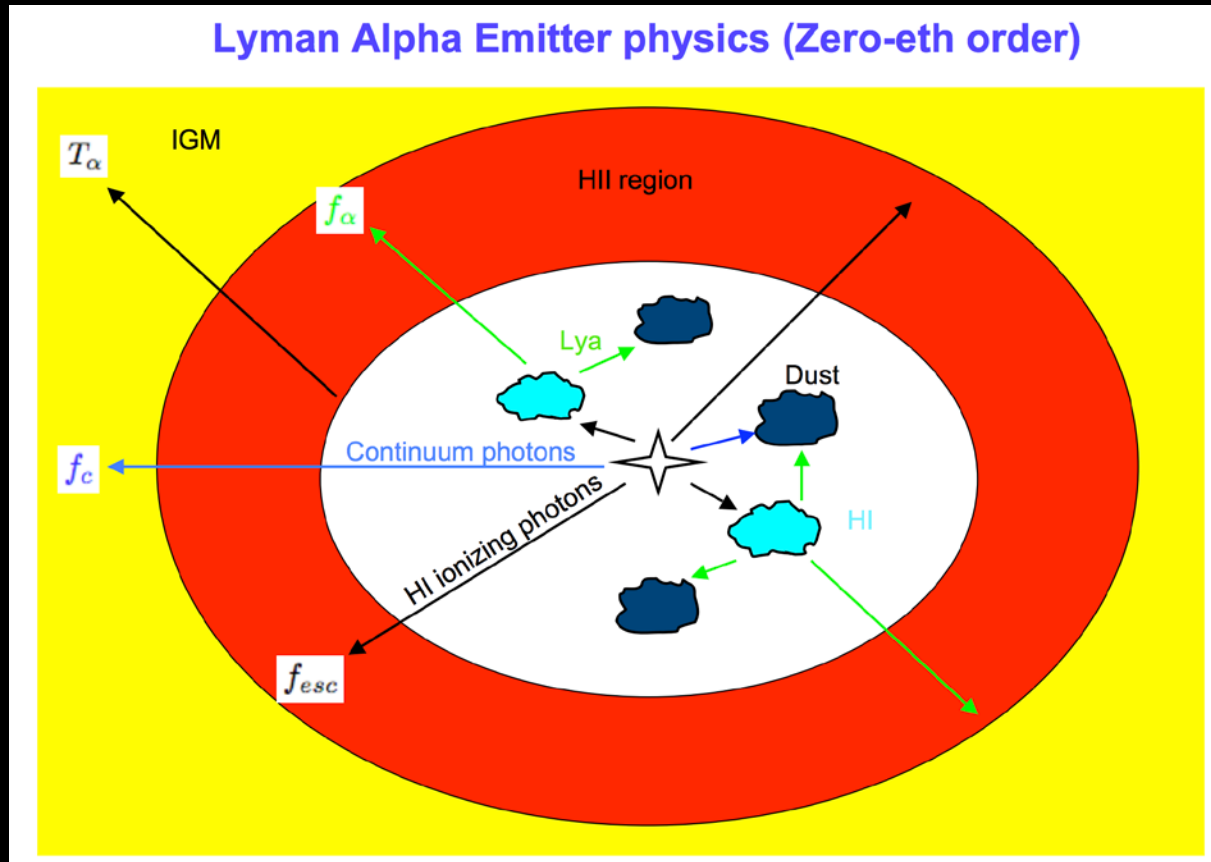
4% CMB photons could have been scattered by the fully ionized IGM at $z < 6$

If reionization would be instantaneous, then $z_{\text{re}} = 8.8^{+1.3}_{-1.2}$ (Planck 2015), or $z_{\text{re}} = 8.5^{+1.0}_{-1.1}$ (Planck 2016).



宇宙再电离时代的探针-3: Ly α 发射体

第一代星系附近发出Ly α 波长的光子，会被周围的中性氢气体散射





宇宙再电离时代的探针-3: Ly α 发射体

第一代星系附近发出Ly α 波长的光子，会被周围的中性氢气体散射。Ly α 光度函数在高光度端的突起表明，宇宙再电离是成泡状结构、非均匀的过程。

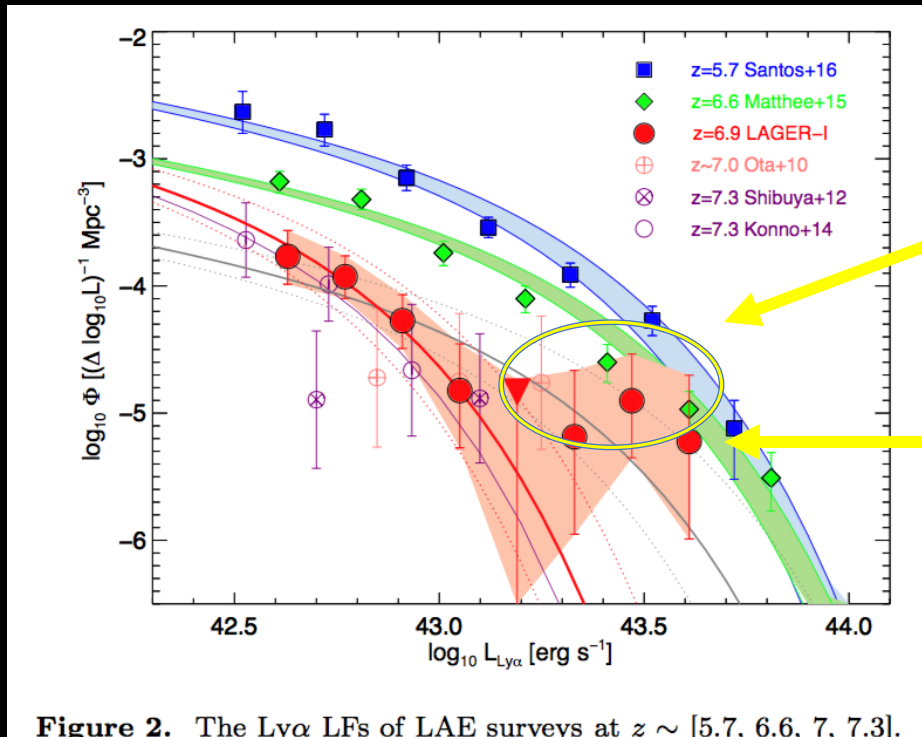


Figure 2. The Ly α LFs of LAE surveys at $z \sim [5.7, 6.6, 7, 7.3]$.

LAGER collaboration (Zheng et al. 2017)

Evolution of LF indicates
 $x_{HI} \sim 0.4 - 0.6$
at $z = 6.9$ (however,
model dependent).

Bump at bright end
indicates large HII
bubbles, where Hubble
flow, galactic
inflow/outflow can
bring Ly α photons out
of resonance.

宇宙再电离时代的观测证据

- 已有探针：

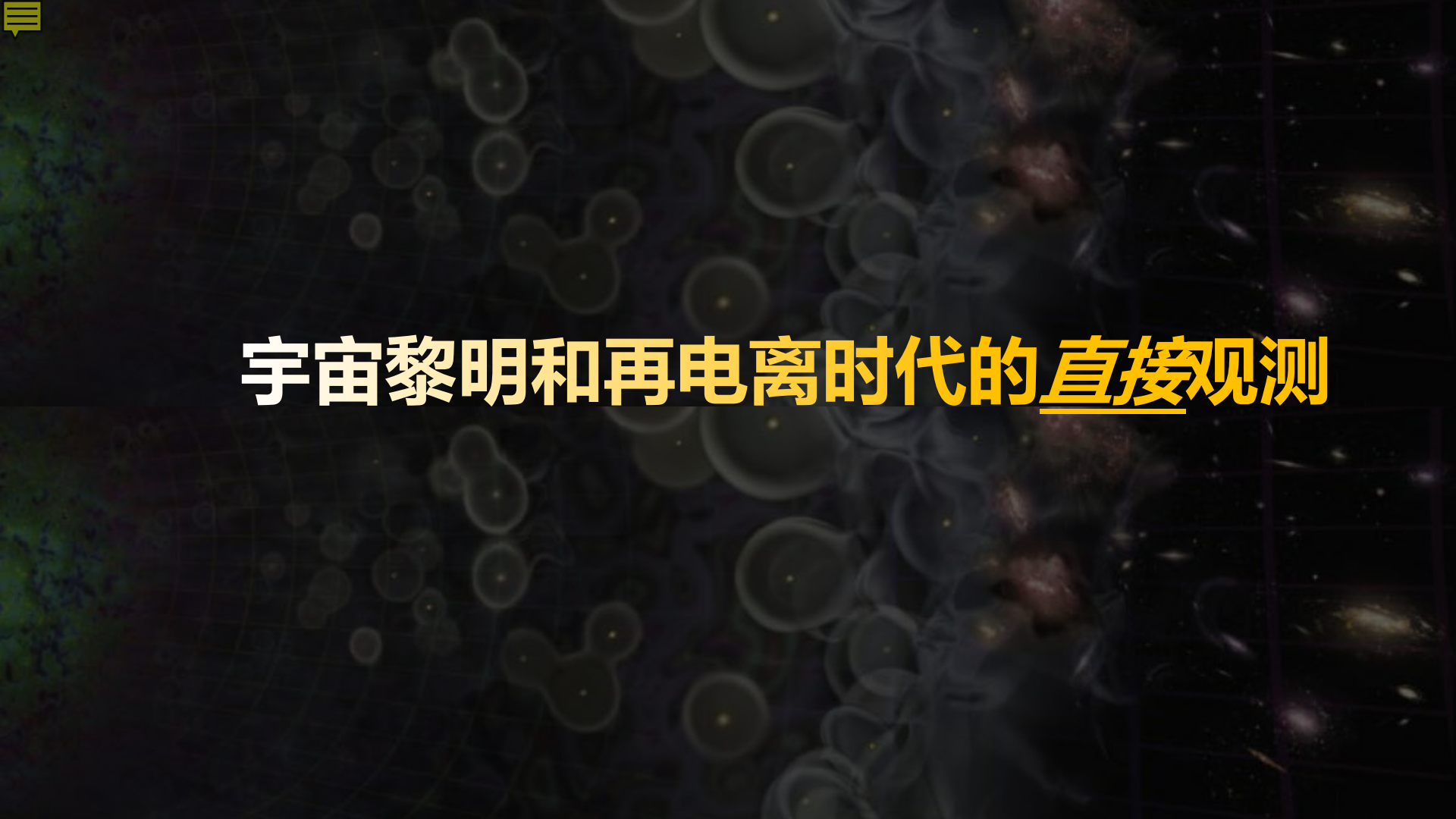
- Ly α 森林光深测量：再电离结束于红移6
- 宇宙微波背景辐射：再电离渐变
- Ly α 发射体：再电离非均匀



- 未来探针：

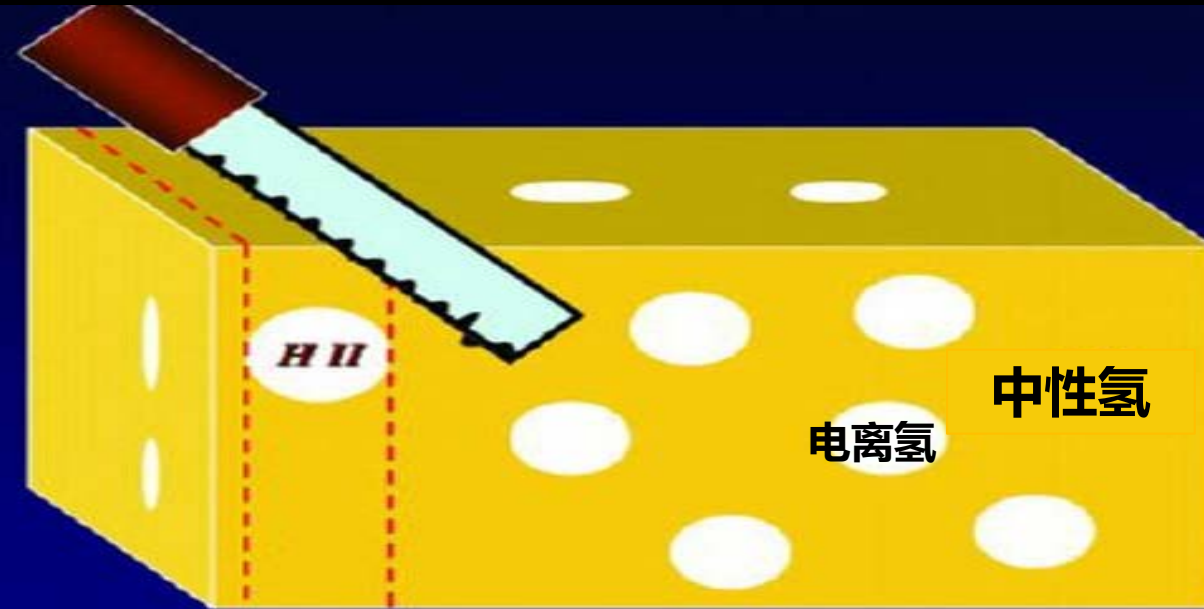
- 中性氢21厘米谱线强度映射
- 分子谱线强度映射，及其与21厘米交叉关联
- 中性氢21厘米森林
- 低红移Ly α 森林功率谱



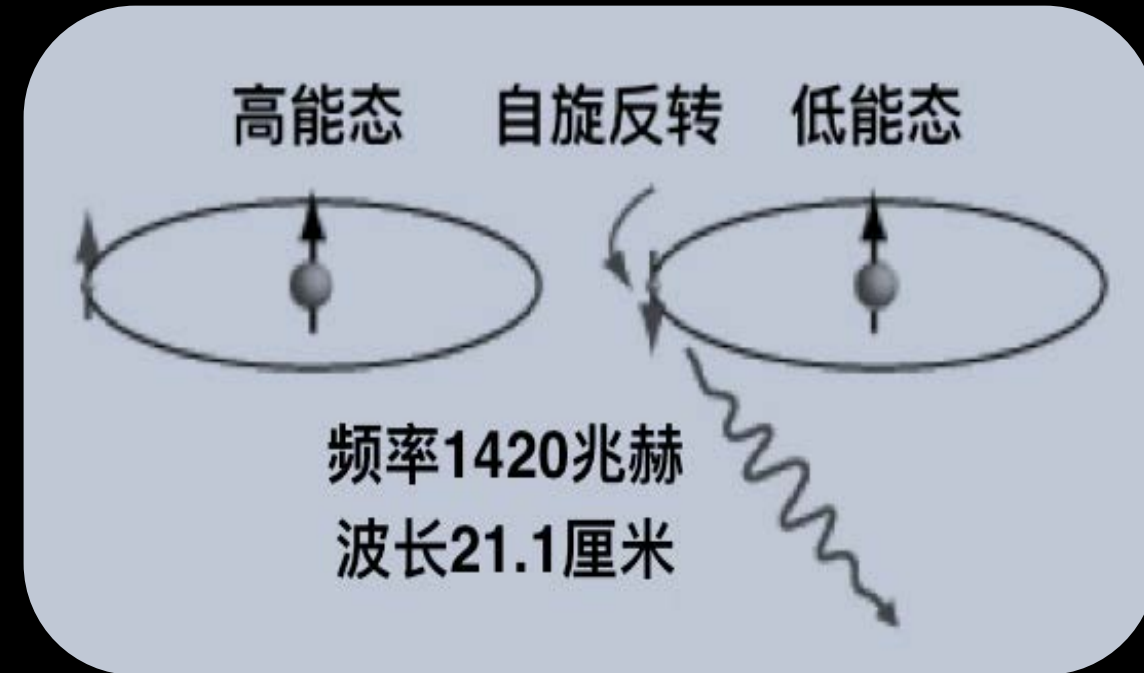


宇宙黎明和再电离时代的直接观测

中性氢



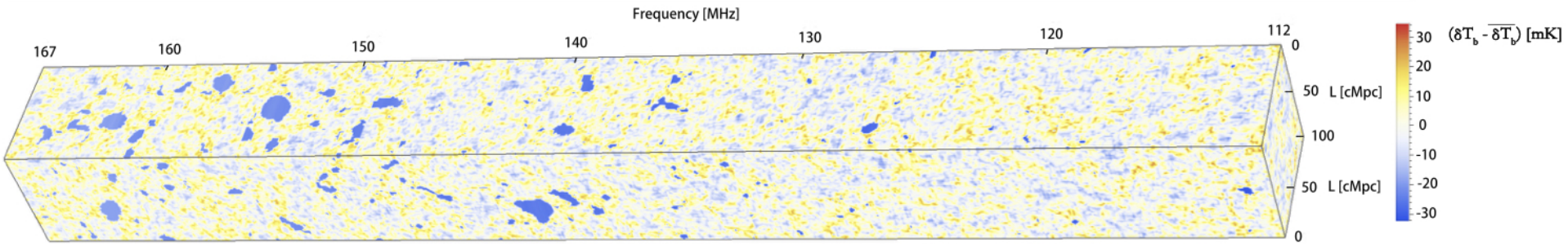
中性氢21厘米谱线

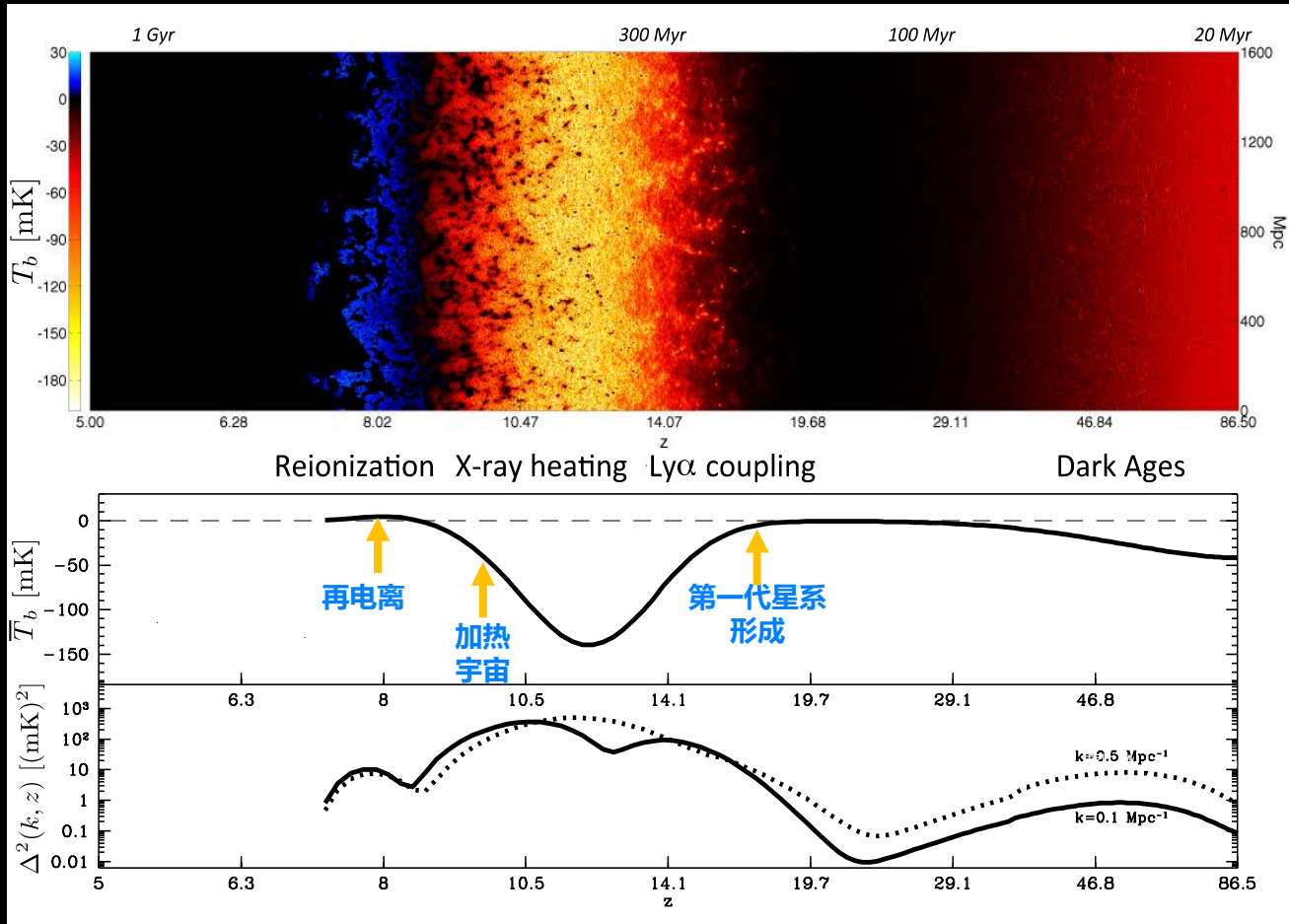


爱因斯坦受激辐射系数和自发跃迁系数 $(A_{10} = 2.85 \times 10^{-15} \text{ s}^{-1})$

(对应于32Myrs才会自发跃迁一次!) So 21 cm line is optically thin!

通过21厘米谱线看到的宇宙（模拟图）





图像信号

平均信号

统计起伏信号

单个天线测量平均信号

EDGES
高频天线
美国/澳洲



EDGES
低频天线
美国/澳洲



PRIZM
低频天线
南非



PRIZM
高频天线
南非



LEDA
美国



SARAS-3
印度





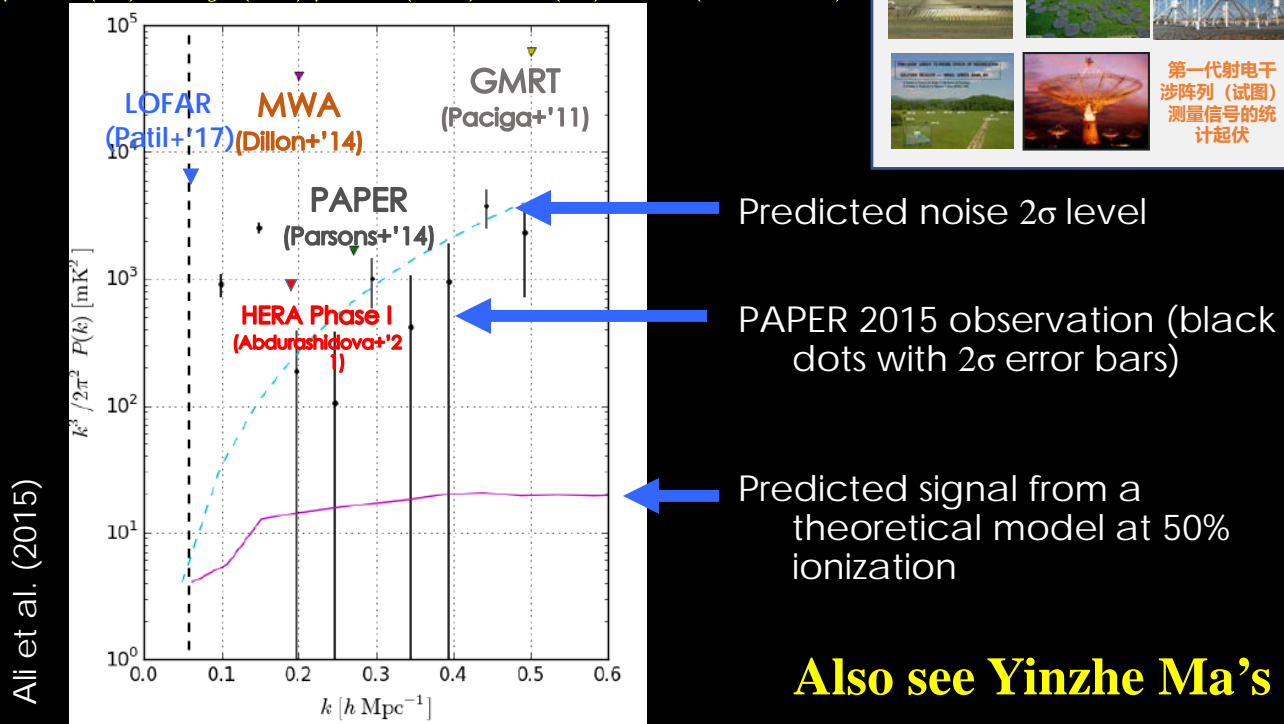
**第一代射电干涉阵列
(试图) 测量信号
的统计起伏**

Direct Constraints on Reionization: 21-cm

PAPER, MWA, LOFAR and GMRT measure the **power spectrum** of 21-cm brightness temperature fluctuations.

PAPER reported a 2σ upper limit on 21-cm power spectrum of $(22.4 \text{ mK})^2$ at $k=0.15 - 0.5 h \text{ Mpc}^{-1}$ at $z=8-14$.

$$\langle \delta T_b(\mathbf{k}) \delta T_b^*(\mathbf{k}') \rangle = (2\pi)^3 P(\mathbf{k}) \delta^{(3)}(\mathbf{k} - \mathbf{k}')$$



Also see Yinzhe Ma's talk

第二代射电干涉阵列将测量信号的统计起伏和图像



SKA (平方公里阵列射电望远镜)

一期工程 ~ 157亿欧元

14国国际合作

(澳/加/中/法/德/印/意/荷/新/南非/西/
瑞典/瑞士/英)

HERA

美国

(+加/英/南非/意)



世界巨眼：平方公里阵列射电望远镜（SKA）

特点

- SKA将是世界最大综合孔径射电望远镜。
- 革命性特点：高分辨率、高灵敏度、大视场、宽频段、大数据



重要性

- 宇宙再电离时代的21厘米观测是SKA最重要的科学目标之一。
- 这个领域将迎来宇宙学的重大突破！

国际合作

- 2019年，中、英、澳、南非、意、荷、葡签署SKA天文台公约。
- 2021年，全国人大批准SKA天文台公约。
- 2028年，SKA预计完成建设。

批 准 书

中华人民共和国主席根据中华人民共和国第十三届全国人民代表大会常务委员会第二十八次会议的决定，批准二〇一九年三月十二日在罗马签署的《成立平方公里阵列天文台公约》。

中华人民共和国对条约中所载一切完全遵守。
为此，中华人民共和国主席在批准书上签字并加盖国印，以资证明。

习近平

中华人民共和国主席

王毅

中华人民共和国外交部长

二〇二一年四月二十九日于北京

习近平主席批准《成立平方公里阵列天文台公约》

Data Analysis in 21cm observations

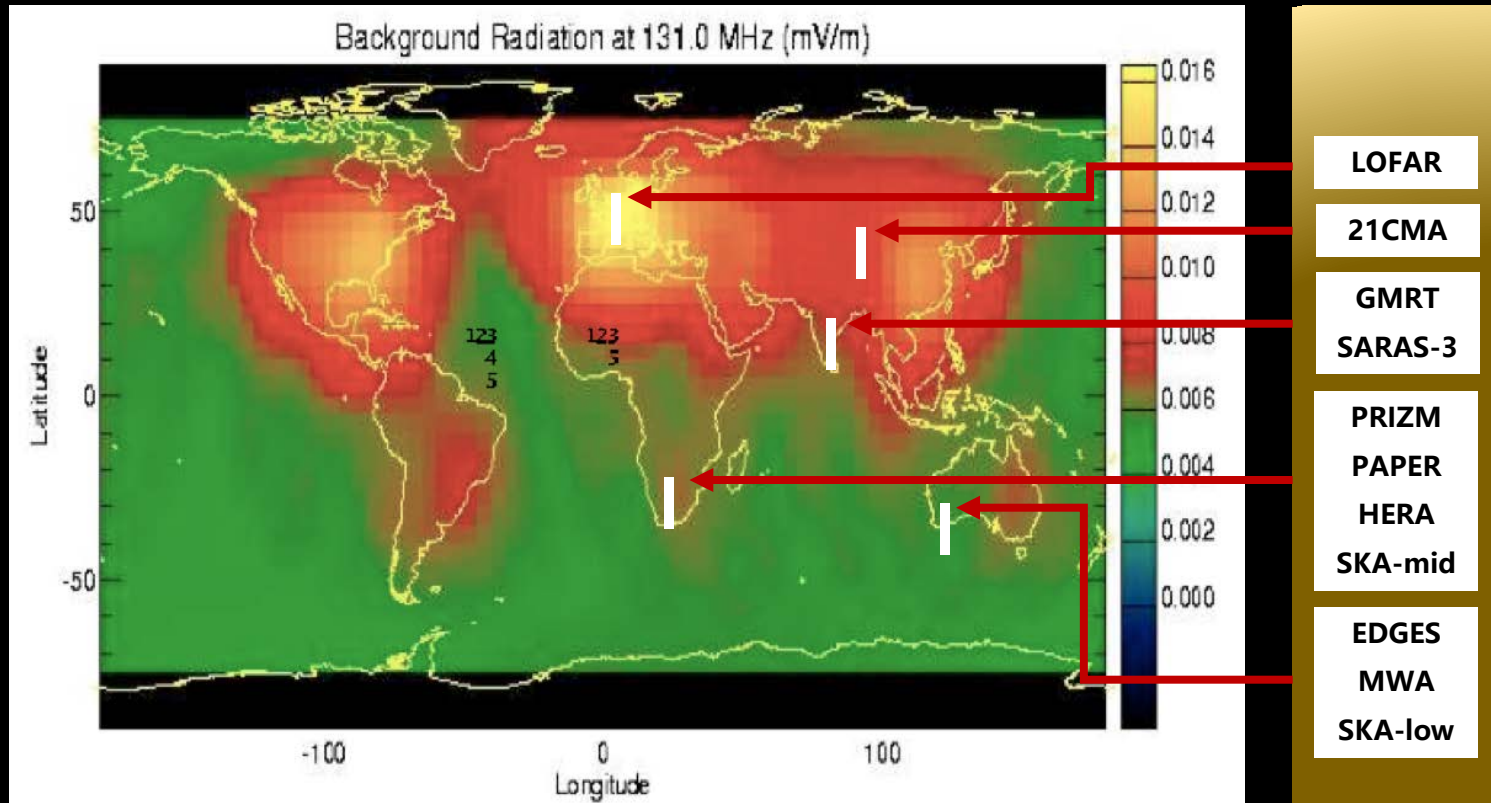
- Calibration (see Xin Wang's talk)
- RFI flagging (in visibility measurement)
- Image making (see Le Zhang's talk)
- Foreground subtraction

(also see the talks of John Podczerwinski, Cunningham Steve, Shulei Ni, Feng Shi)

- Scientific interpretation (parameter inference)

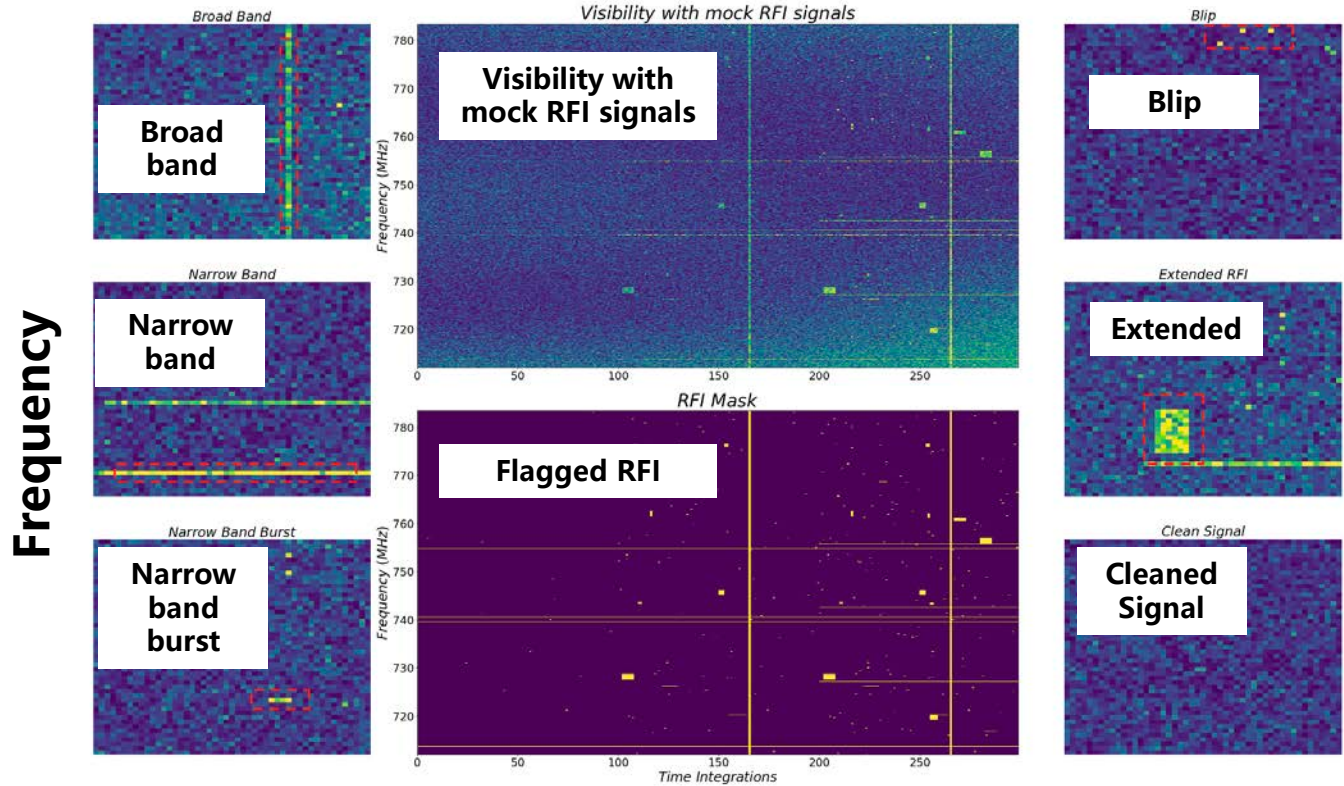
(also see Hayato Shimabukuro's talk)

Radio Frequency Inference (RFI)



RFI Flagging with U-Net

Characteristic RFI Classification



Ce Sui

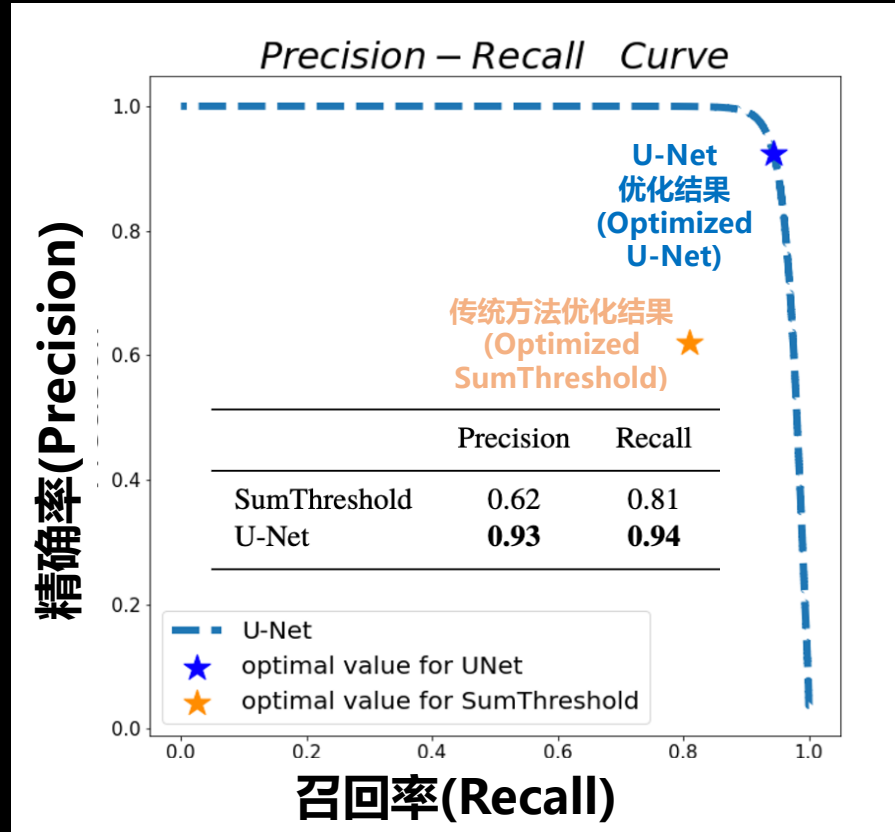
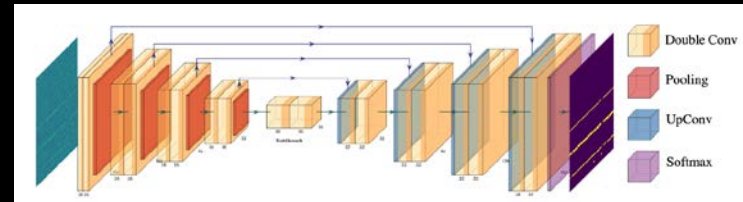
Time

Sui, YM, Zuo, Chen et al., in prep.

RFI Flagging with U-Net



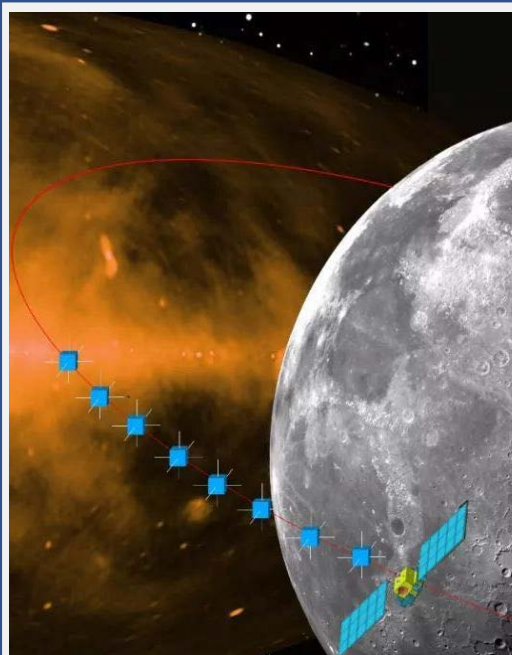
Ce Sui



远离地面无线电干扰——到月球背面去



DAPPAR

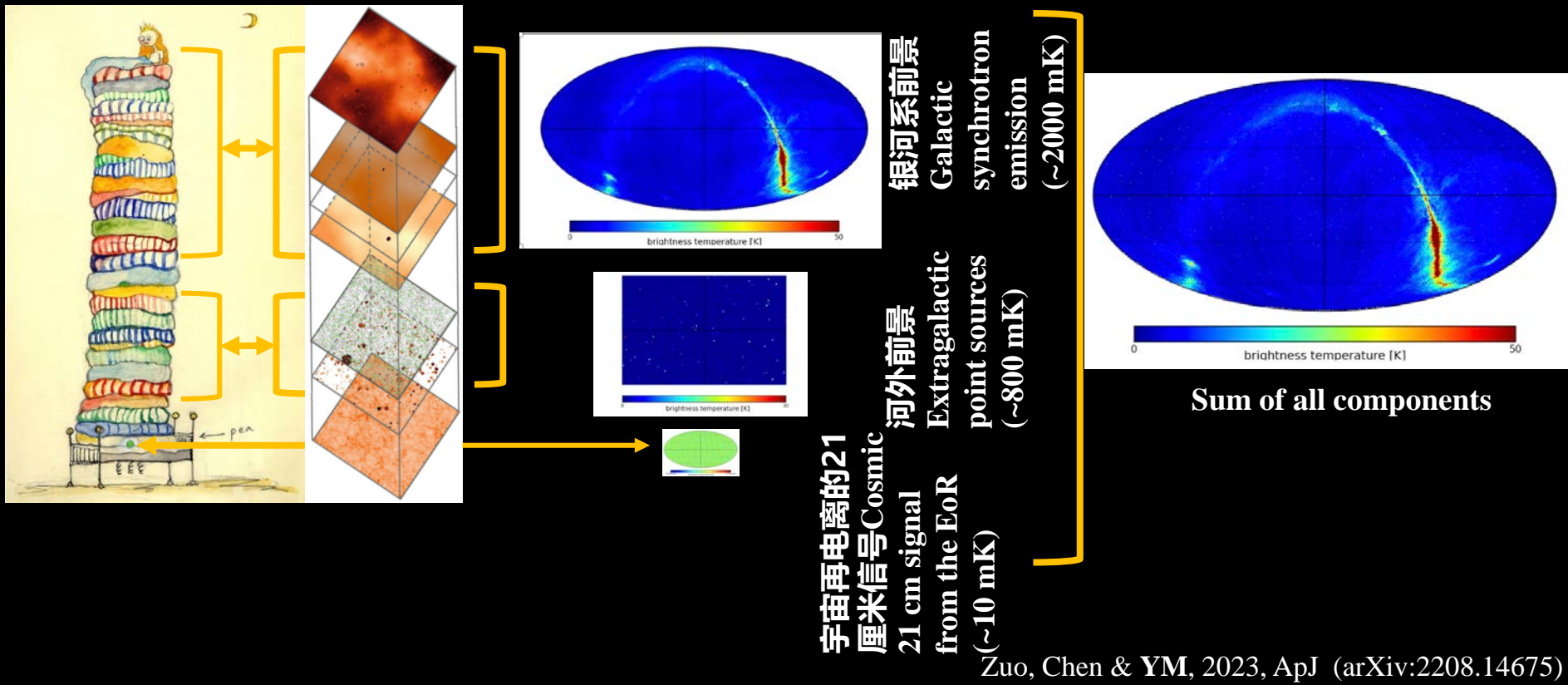


鸿蒙计划

(超长波天文观测阵列， DSL)

(See Xuelei Chen's talk)

Foreground Contamination in 21 cm Observations



银河系和河外射电源前景污染——去除前景办法研究

- 传统使用经典的主成分分析方法（PCA），效果不佳。
- 在PCA基础上，我们提出半盲的“奇异矢量投影”（SVP）方法，改进效果明显。



Shifan Zuo

$$D(\text{image}) = F(\text{foreground}) + N(\text{signal} + \text{noise})$$

PCA/SVD $D = \mathbf{U}\mathbf{S}\mathbf{V}^T$

Singular Vector Projection (SVP)
SVP estimators are semiblind, in the sense that **they are independent of absolute strength of foreground**, but depend on amplitude change in frequency direction (left vectors) and/or sky plane (right vectors).

$$\mathbf{F} = \mathbf{U}_f \mathbf{S}_f \mathbf{V}_f^T \quad (\text{foreground modelling})$$
$$\mathbf{N}_L = \mathbf{D} - \mathbf{U}_f \mathbf{U}_f^T \mathbf{D}, \quad (\text{left})$$
$$\mathbf{N}_R = \mathbf{D} - \mathbf{D} \mathbf{V}_f \mathbf{V}_f^T, \quad (\text{right})$$
$$\mathbf{N}_B = \mathbf{D} - \mathbf{U}_f \mathbf{U}_f^T \mathbf{D} \mathbf{V}_f \mathbf{V}_f^T, \quad (\text{both})$$
$$\mathbf{N}_D = \mathbf{D} - \mathbf{U}_f (\mathbf{U}_f^T \mathbf{D} \mathbf{V}_f)_{\text{diag}} \mathbf{V}_f^T. \quad (\text{diagonal})$$

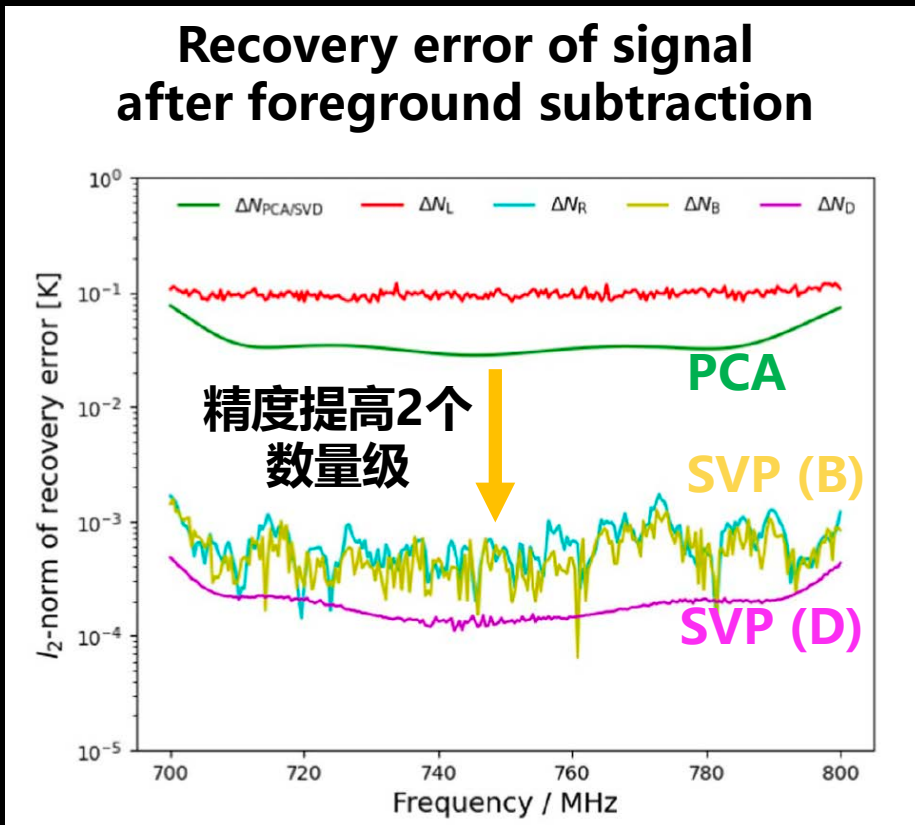
Semiblind Foreground Subtraction: SVP



Shifan Zuo

Left singular vectors contain the frequency info.

Right singular vectors contain the pixel-wise info.



SVP with *Incomplete* Singular Vectors

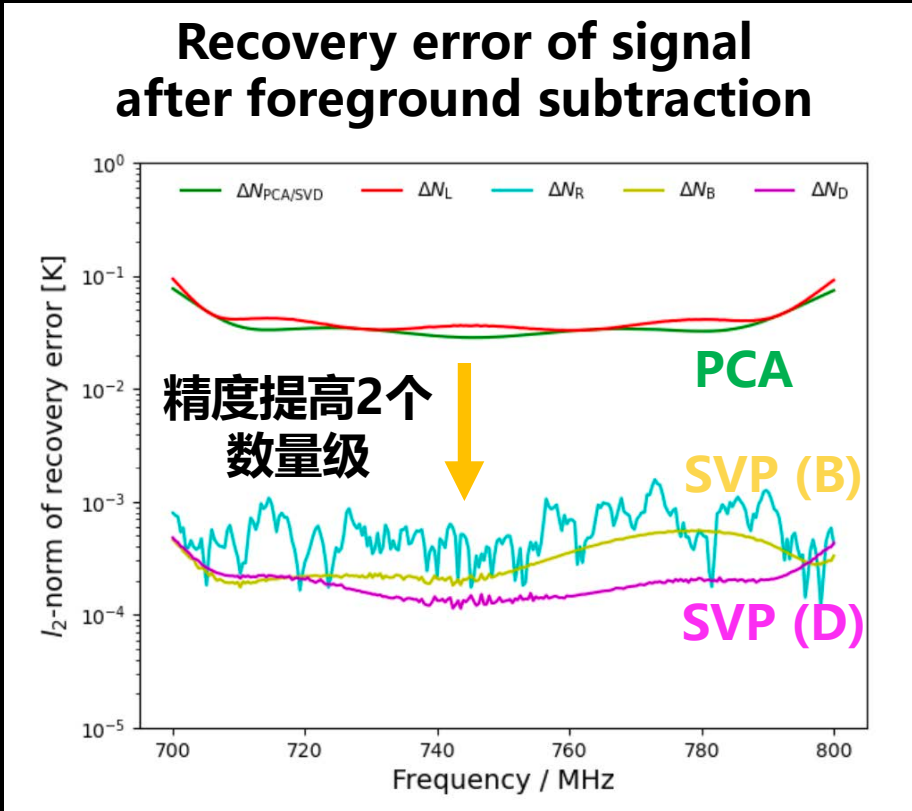


Shifan Zuo

Only the largest five left and/or right singular vectors of the foregrounds are exploited here.

Left singular vectors contain the frequency info.

Right singular vectors contain the pixel-wise info.

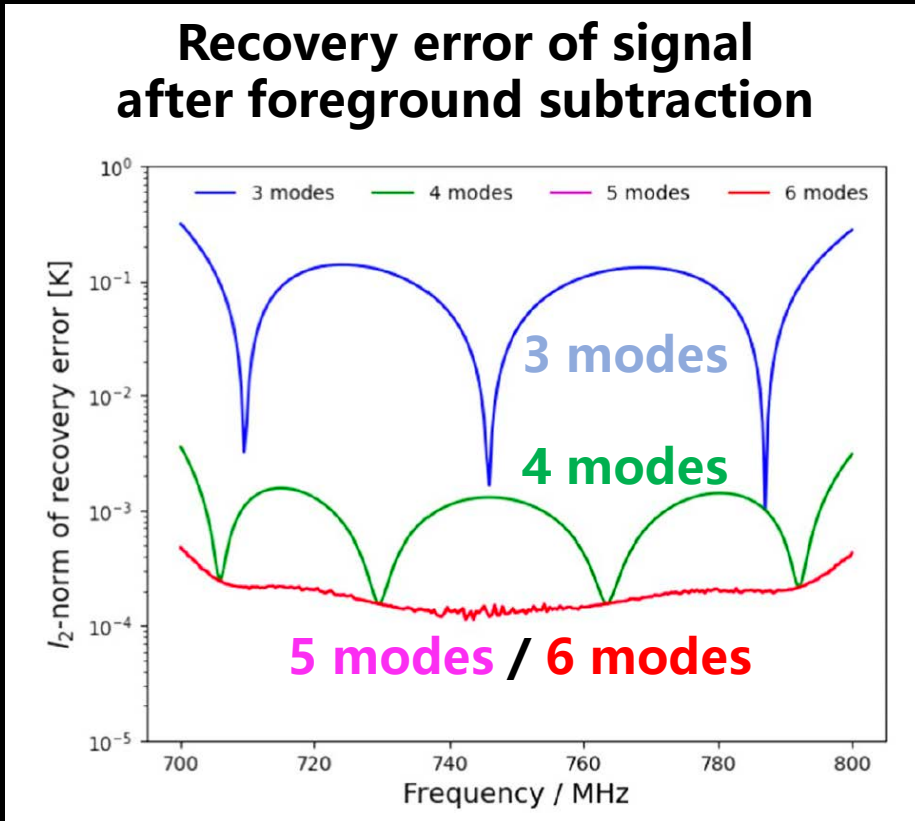


SVP with *Incomplete* Singular Vectors



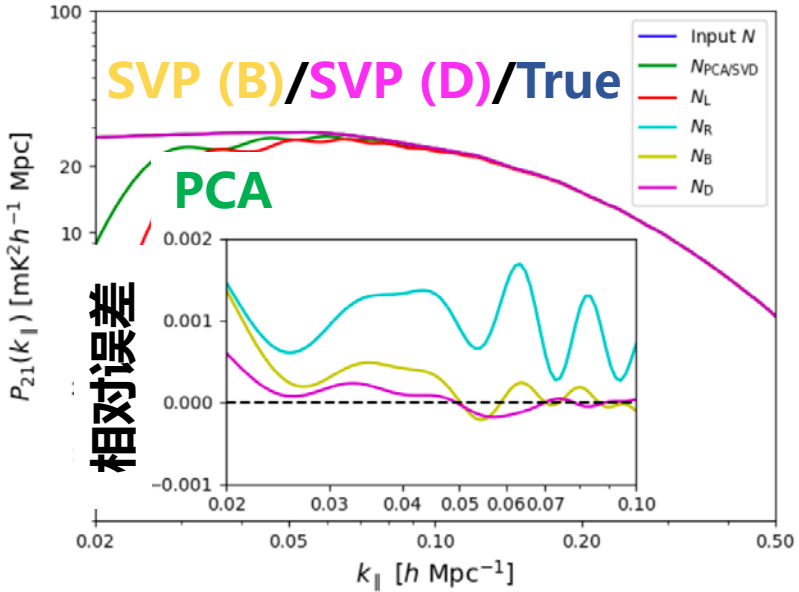
Shifan Zuo

Convergence test:
Only the largest 3, 4, 5, or 6
left and right singular
vectors of the foregrounds
are exploited here (with
SVP-D estimator).



Semi-blind Foreground Subtraction: SVP

Recovered 1D 21cm Power Spectrum along LOS

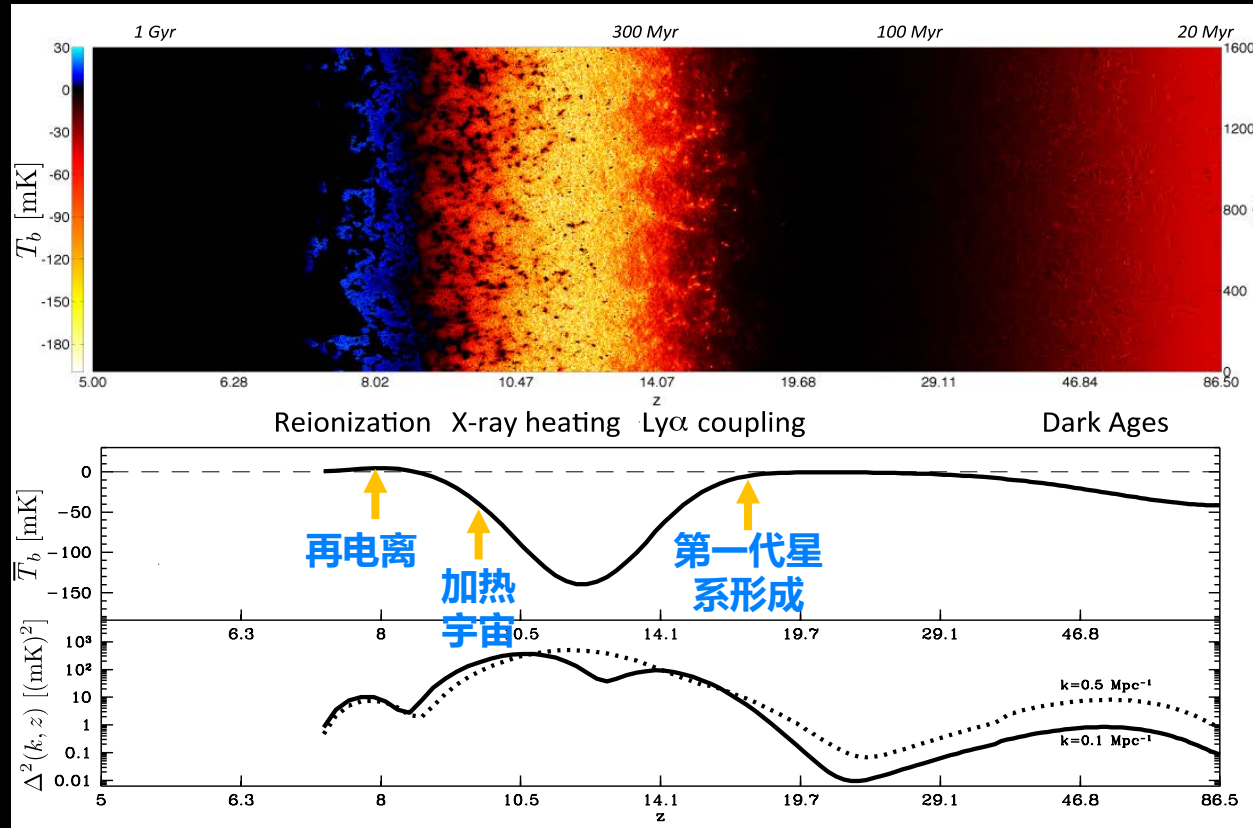


Only the largest five left and/or right singular vectors of the foregrounds are exploited here.



Shifan Zuo

Extract astrophysical information from cleaned data



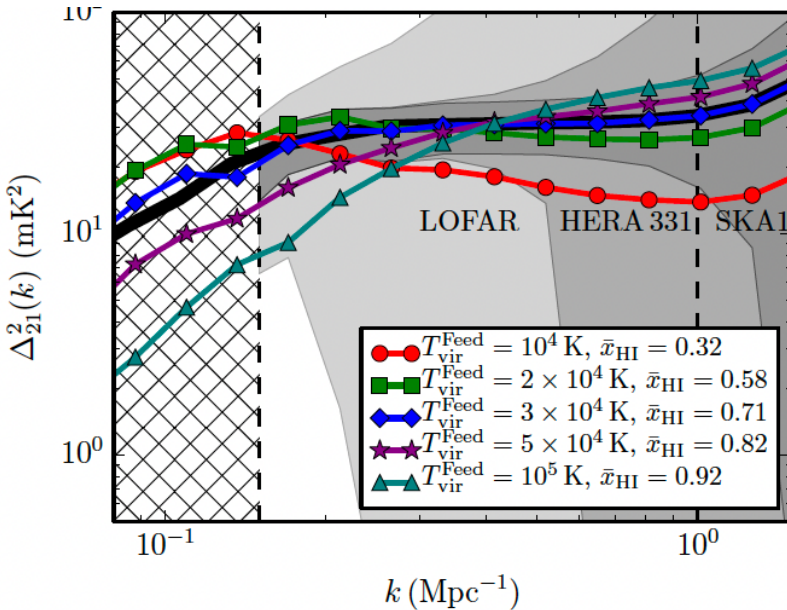
图像信号

平均信号

统计起伏信号
(功率谱)

Parameter Estimation using 21 cm Power Spectrum

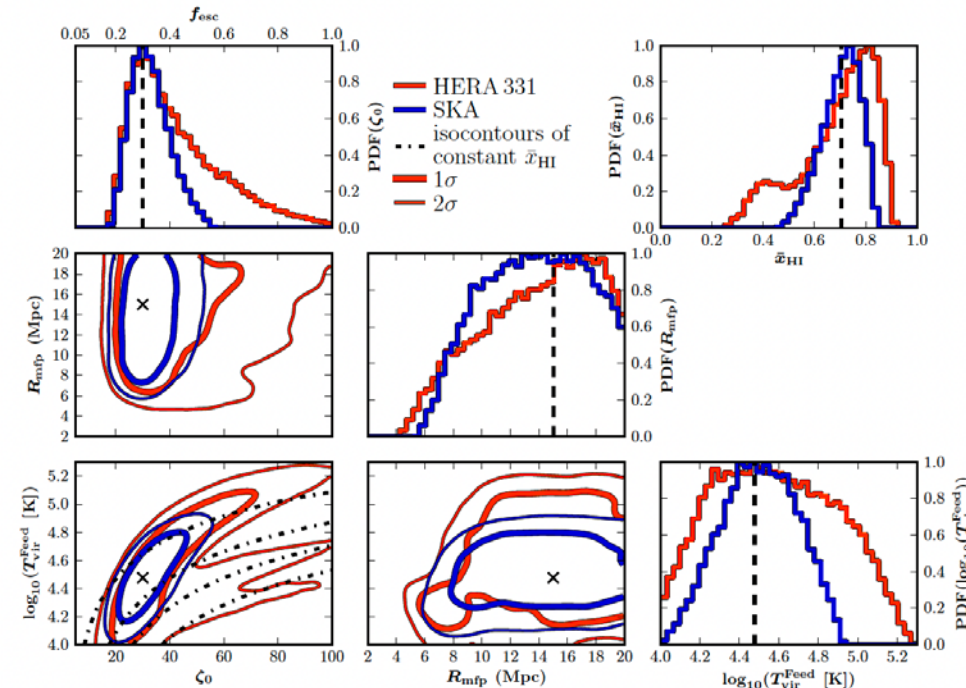
21cm Power Spectrum



Reionization Parameters

ζ the ionizing efficiency

T_{vir} the minimum virial temperature of halos that host ionizing sources



Bayesian inference of reionization model parameters with conventional MCMC method
(21CMMC code)

Parameter Estimation using 21 cm Power Spectrum

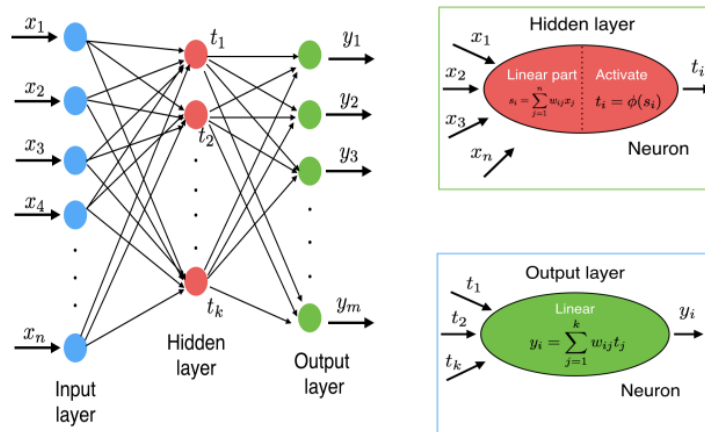


Figure 1. Typical architecture of an artificial neural network. The architecture of the ANN consists of an input layer, a hidden and an output layer of neurons. Each neuron connects the neurons in the next layer.

Estimation of reionization model parameters with artificial neural networks
(note: point estimate, not posterior inference)

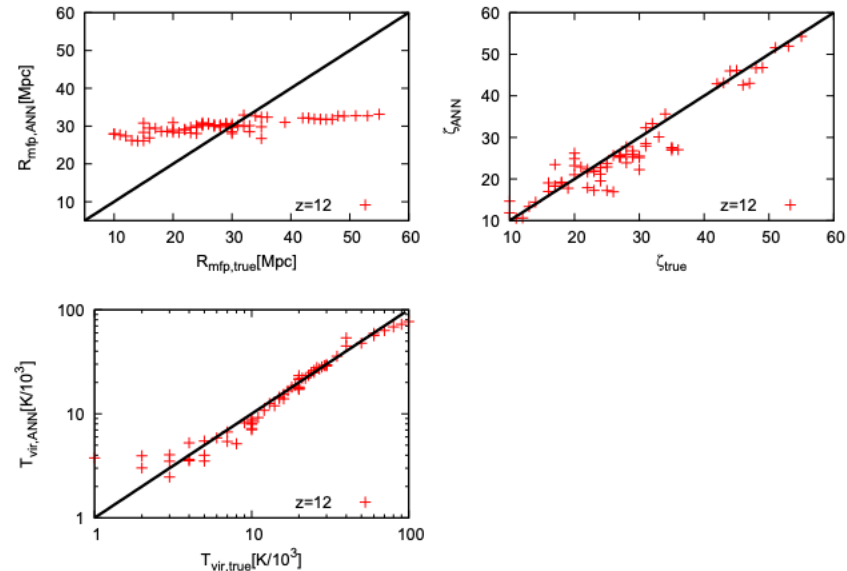
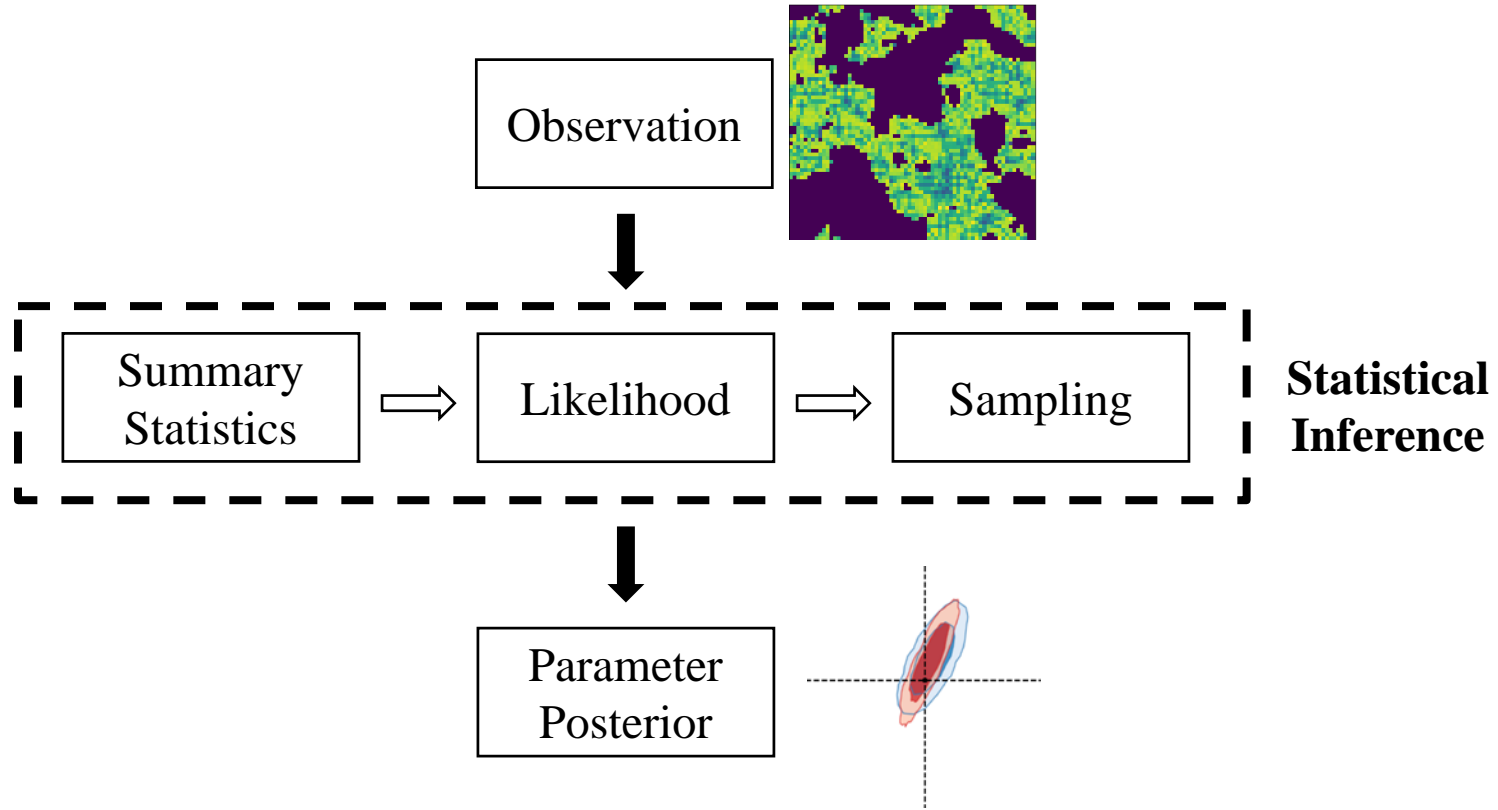
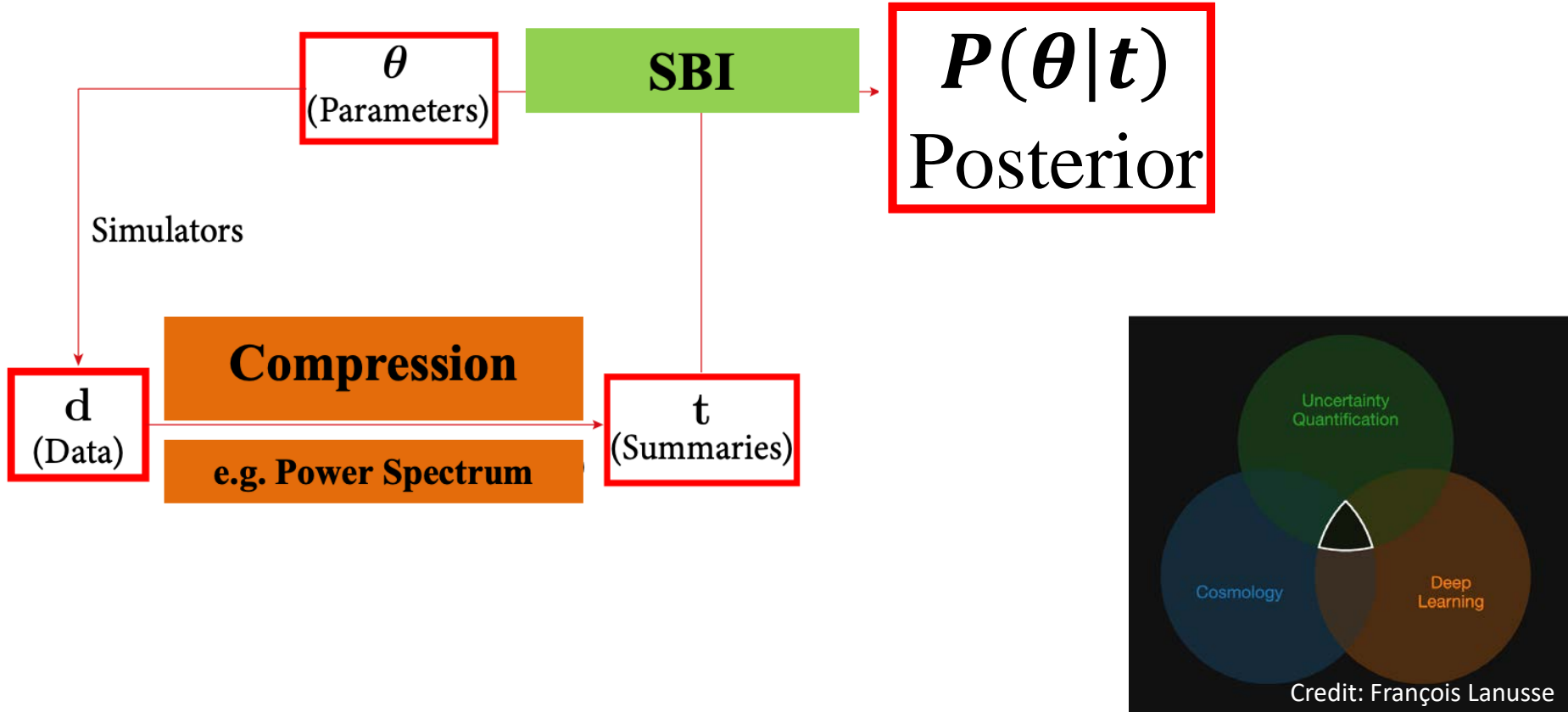


Figure 4. The EoR model parameter values computed by the ANN from the PS against the values used in the simulation at $z=12$. Note that the result for the Virial temperature is plotted

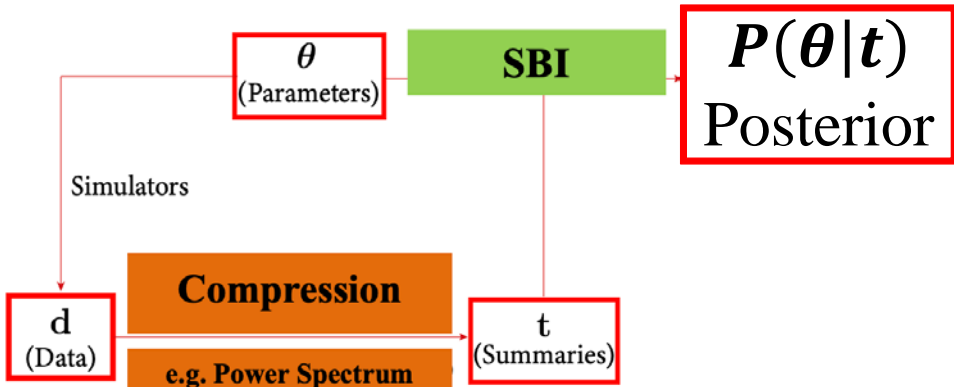
Statistical Inference in Cosmology



Simulation-Based Inference (SBI)



Simulation-Based Inference



1. Generative Way (density estimation likelihood-free inference, DELFI):

Zhao, YM, et al
2022a, 2022b

$$\{\theta, t\} \xrightarrow{\text{Density Estimator}} P(t|\theta) \xrightarrow{\text{Prior}} P(\theta|t) \propto P(t|\theta)P(\theta)$$

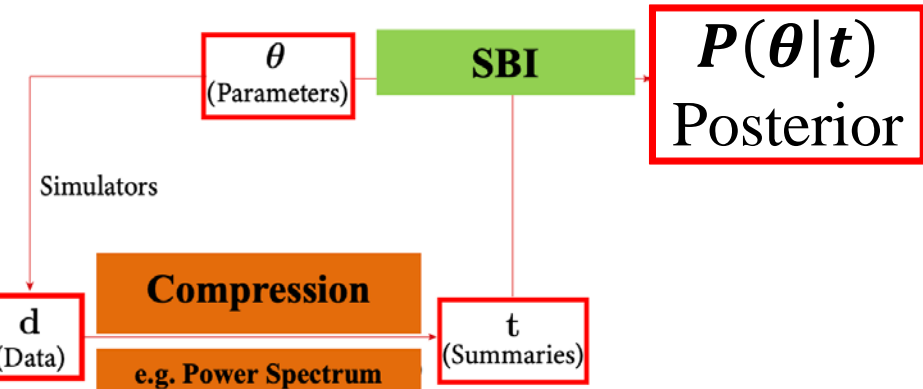
Bayes' Theorem

2. Discriminative Way (Neural Ratio Estimation, NRE):

Ce, YM, et al
In prep

$$\{\theta, t\} \xrightarrow{\text{Ratio estimation}} r(\theta, t) = \frac{P(t|\theta)}{P(t)} \xrightarrow{\text{Prior}} P(\theta|t) = r(\theta, t)P(\theta)$$

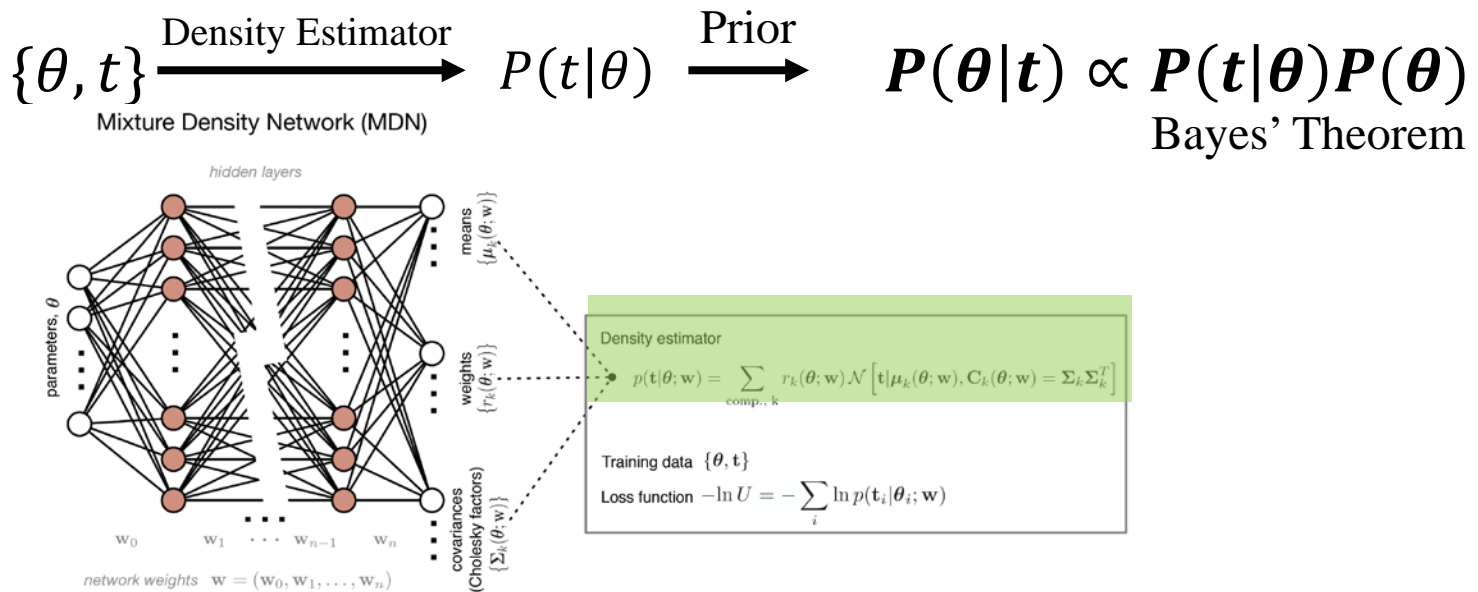
Simulation-Based Inference



1. Generative Way (density estimation likelihood-free inference, DELFI):

Zhao, YM, et al
2022a, 2022b

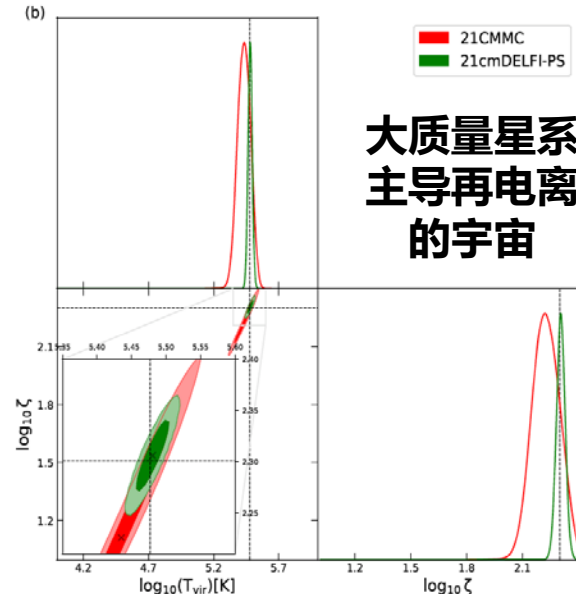
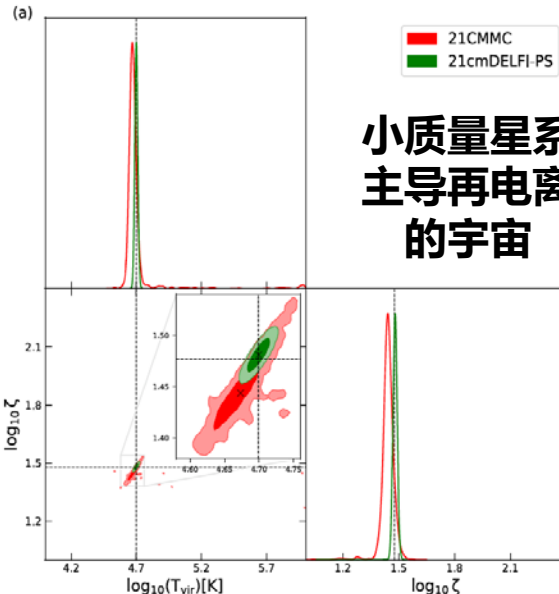
An example of Neural Density Estimators (NDEs)



从21厘米功率谱测量出发限制宇宙再电离理论模型

- 传统使用经典的马尔可夫链蒙特卡罗算法（MCMC），需要做特定假设。
- 发展了基于深度学习的贝叶斯统计推断的新方法，开发了新软件21cmDELFI-PS

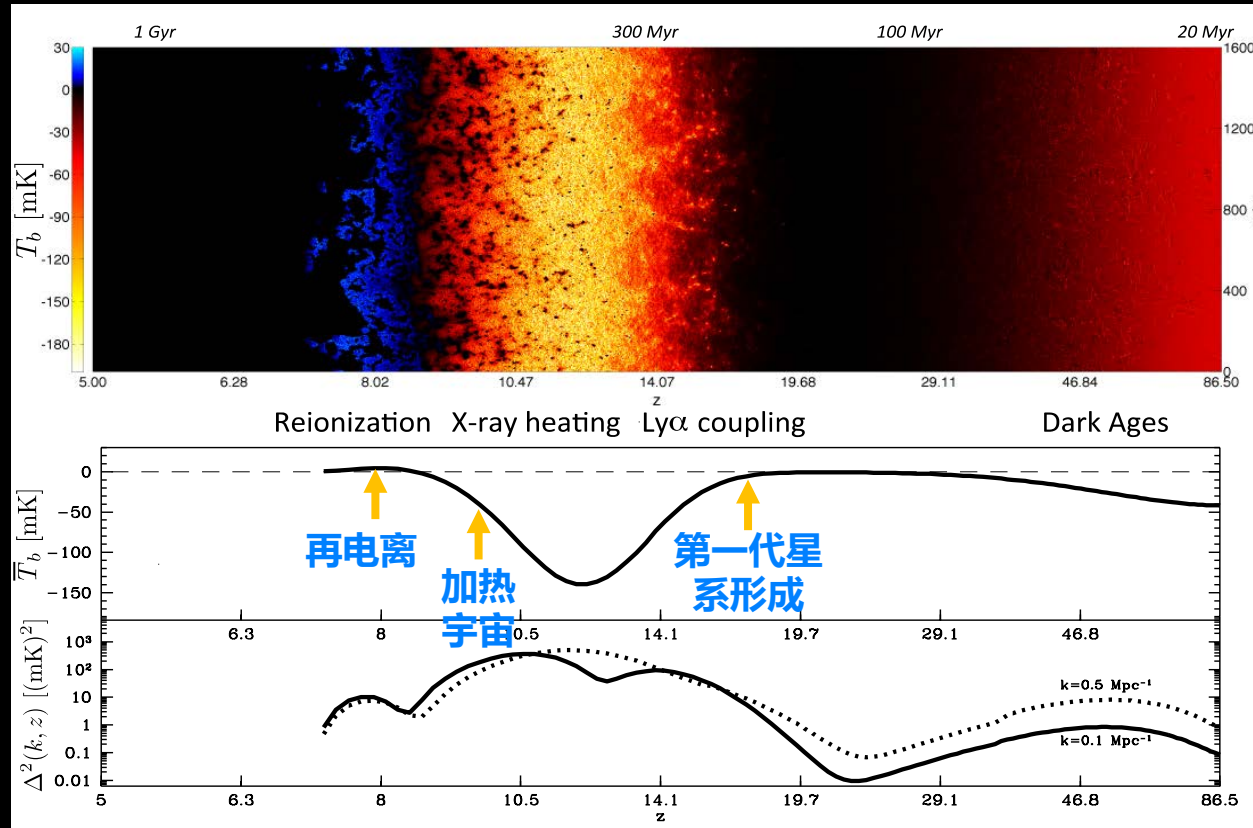
对宇宙再电离模型参数进行贝叶斯统计推断的示例



MCMC得到的置信区间

21cmDELFI-PS得到的置信区间

Extract astrophysical information from cleaned data

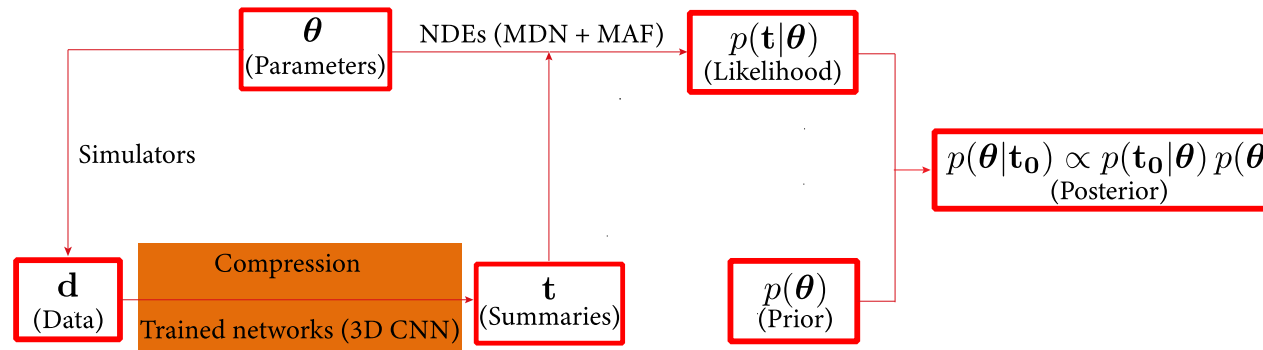


图像信号

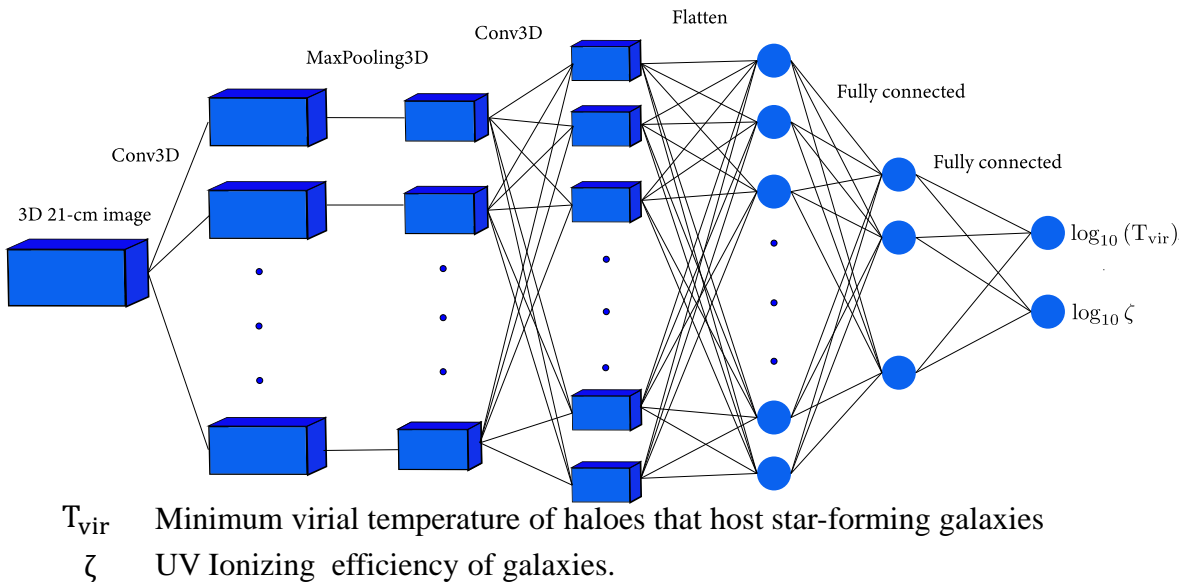
平均信号

统计起伏信号
(功率谱)

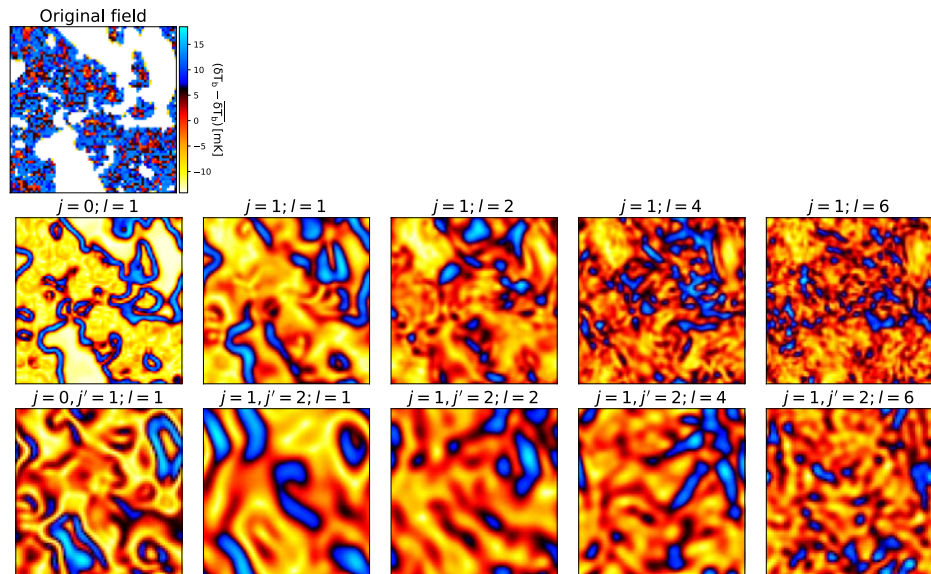
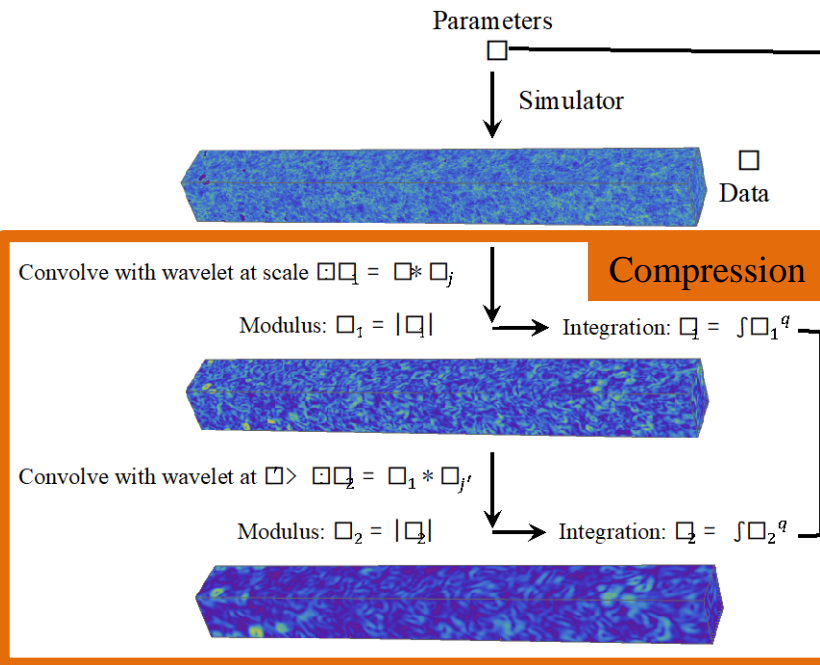
Likelihood-free Bayesian inference



Structure of Convolutional Neural Networks (CNN)

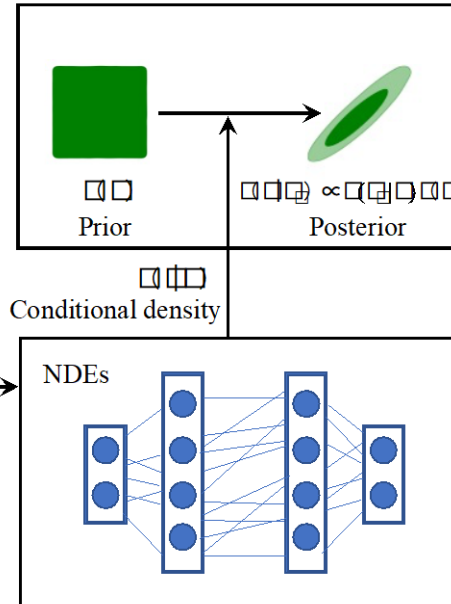
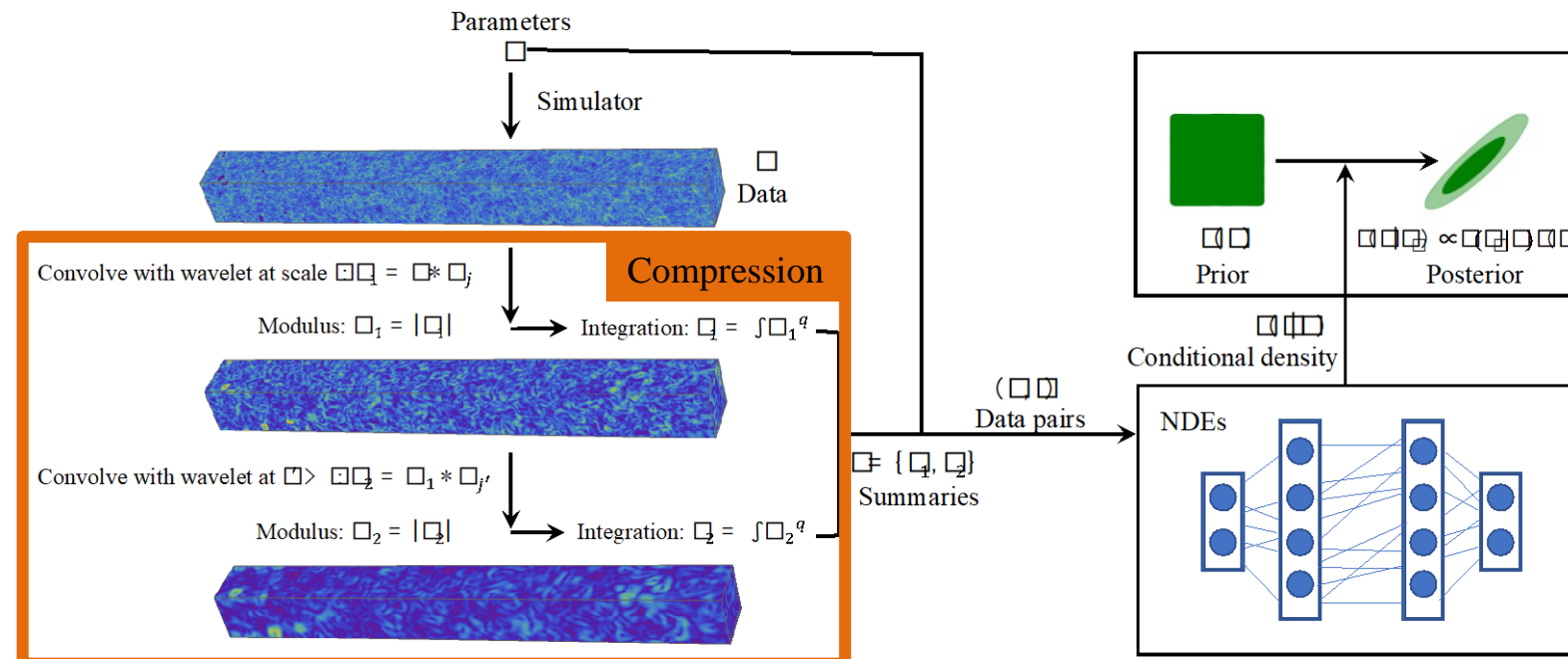


Likelihood-free Bayesian inference



Solid harmonic wavelet scattering transform (SHWST)

Likelihood-free Bayesian inference

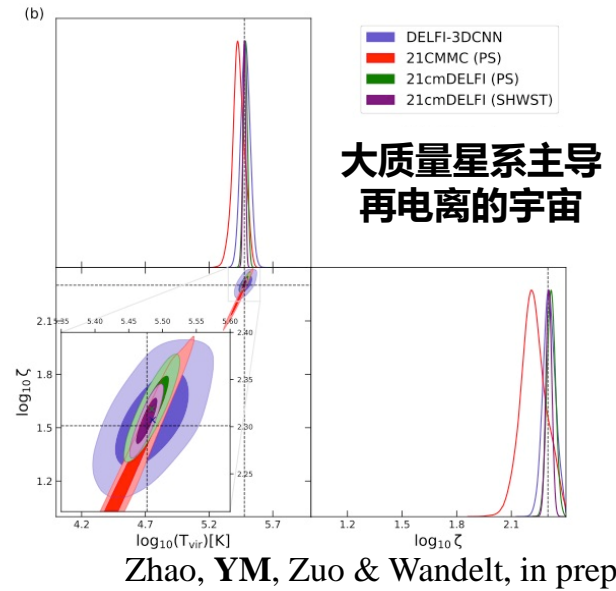
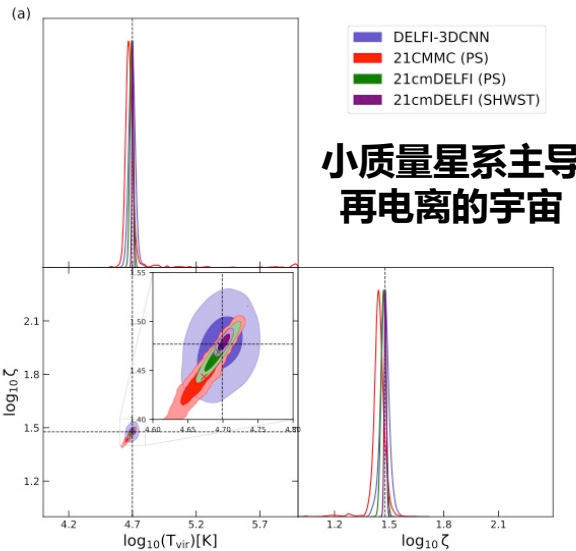


Solid harmonic wavelet scattering transform (SHWST)

从21厘米图像测量出发限制宇宙再电离理论模型

- 对21厘米图像信号进行降维（球谐小波散射变换），发展了基于深度学习进行贝叶斯统计推断的新方法，开发了新软件21cmDELFI-ST

对宇宙再电离模型参数进行贝叶斯统计推断的示例

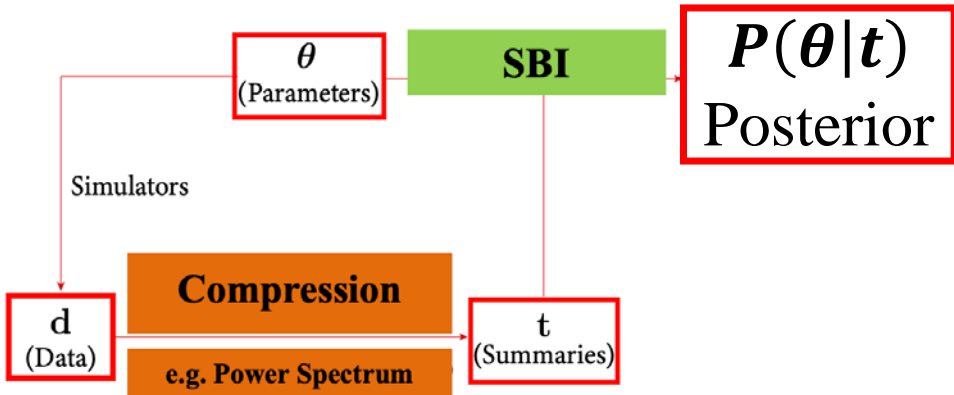


MCMC得到的置信区间

21cmDELFI-PS得到的置信区间

21cmDELFI-ST得到的置信区间

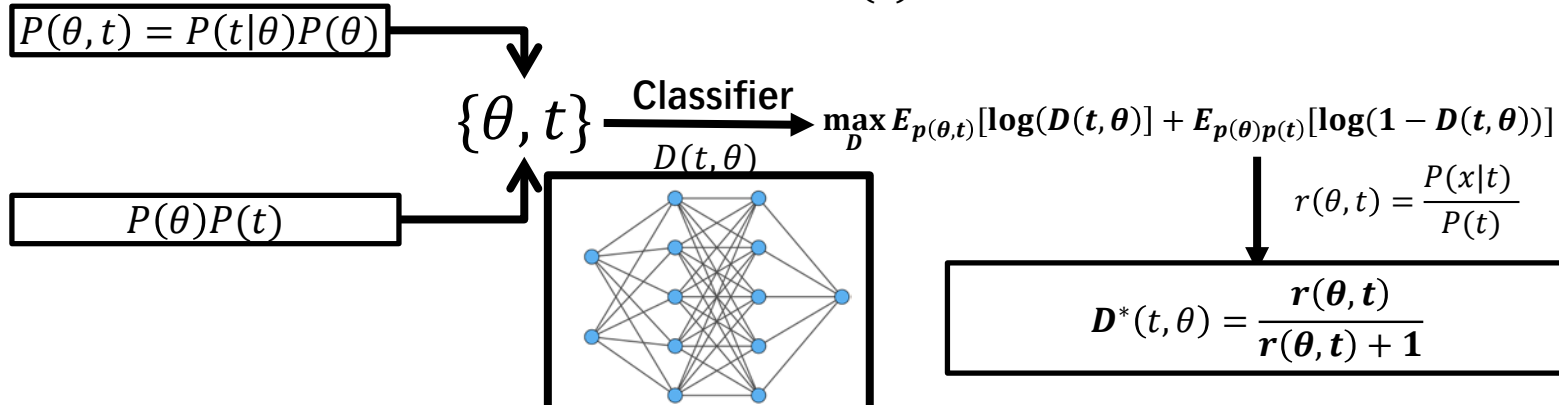
Simulation-Based Inference



2. Discriminative Way (Neural Ration Estimation, NRE):

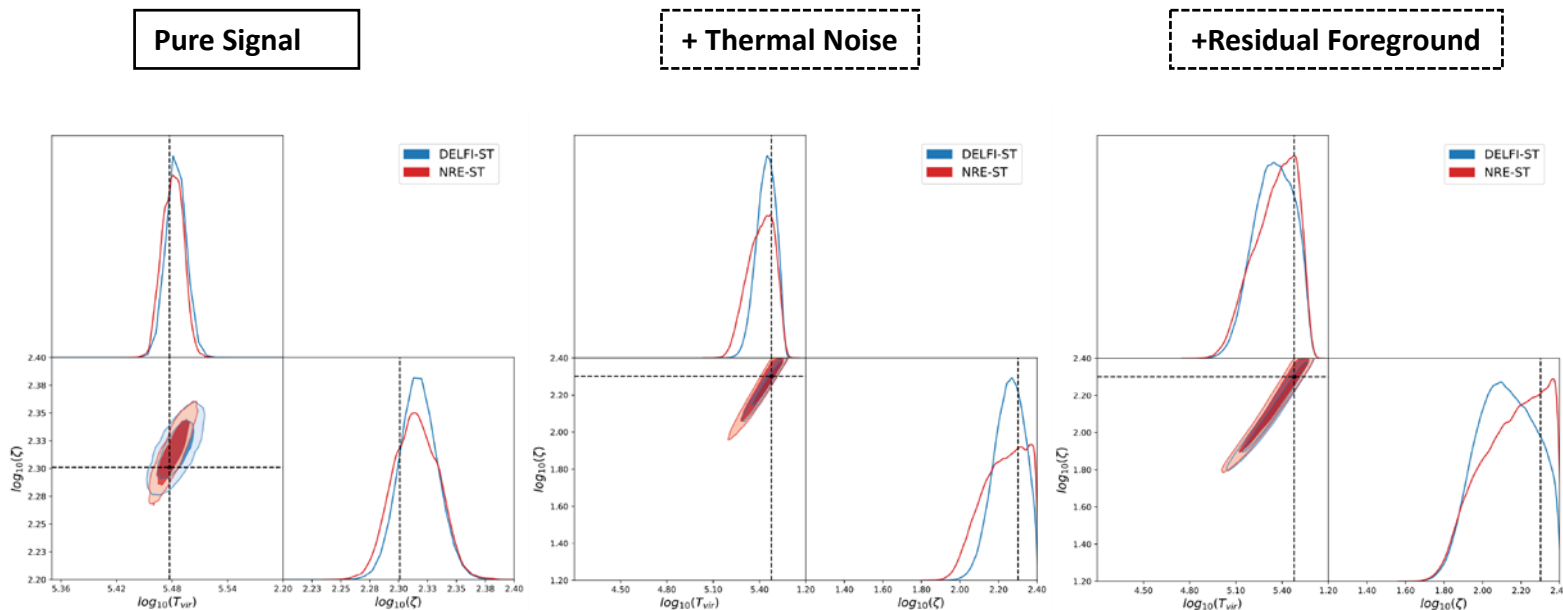
Ce, YM, et al
In prep

$$\{\theta, t\} \xrightarrow{\text{Ratio estimation}} r(\theta, t) = \frac{P(t|\theta)}{P(t)} \xrightarrow{\text{Prior}} P(\theta|t) = r(\theta, t)P(\theta)$$



Comparison between two SBI methods

Bright
Galaxy
Model



Ce, YM, et al. in prep

宇宙再电离时代的观测证据

- 已有探针：

- Ly α 森林光深测量：再电离结束于红移6
- 宇宙微波背景辐射：再电离渐变
- Ly α 发射体：再电离非均匀 (also see Fengshan Liu's talk)

- 未来探针：

- 中性氢21厘米谱线强度映射 (e.g. bispectrum - see Siyi Zhao's talk; polarization)
- 分子谱线强度映射，及其与21厘米交叉关联 (Also see Olivier Perdereau's talk)
- 中性氢21厘米森林 (See the talks of Yue Shao, Wenkai Hu)
- 低红移Ly α 森林功率谱 (Montero-Camacho & Mao, MNRAS, 2020, 2021, 2023)